

N_2O_4

N₂O₅, Frank H. Verhoek, Farrington Daniels
1931

N₂O₃

Laboratory Phys. Chem., Univ. of
Wisconsin, 53 (1931), 1250

The dissociation constants
of nitrogen tetroxide and
of nitrogen trioxide.

lewis et al.

1931

N^o 84

Menzies A.C., Pringle C.O.

Nature, 1831, 127, 207.

Panam-cucurubassus nesemann
aspre.

Netw. rpm - 80° C.

Qsva max 275 cu'.

N₂O₄ (ω)

II 2589

1933

Sutherland G.B.B.M.

Proc. Roy. Soc. (London) 1933, A 141,
342-62

"The infra-red absorption spectrum
of nitrogen tetroxide and the O₂

10

C.A., 1933 5247

structure of the molecule."

1933

Sutherland G. B. B. M.,

Proc. Roy. Soc., 1933, A 141, 535

Pauwae cincin. NaO₄. (6 esp.)

N_2O_4 (ω)

2702 - 1"

1937

Duchesne J.

Compt. rend. 1937, 204, 1112-14

"Vibration frequencies of N_2O_4 ".

2

10

c. a. 1937, 4371⁶

1938

NaD₄

Giaugue W. F., Lemps J. S.

NO₂

J. Chem. Phys., 1938, 6, 40-52

$$N_2O_4 \cdot T_m = 261,90^\circ K \quad (0^\circ C = 273,10^\circ K)$$

$$T_{un} = 294,25^\circ K$$

$$240,3 - 261,90^\circ K: \lg P(\text{cm pm. cm}) = -2460,000/T + \\ + 9,58149 + 7,61700 \cdot 10^{-3}T - 1,51335 \cdot 10^{-5}T^2;$$

$$261,90 - 294,25^\circ K: \lg P(\text{cm pm. cm}) = -1753,000/T + \\ + 8,00436 - 11,8078 \cdot 10^{-4}T + 2,0954 \cdot 10^{-6}T^2.$$

$$\delta K_{un}(294,25^\circ) = 9110 \pm 9 \text{ mas/arcsec} \quad (M = 92,016)$$

$$\delta K_m(261,90^\circ K) = 3502 \pm 3 \text{ mas/arcsec} \quad (M = 92,016)$$

дисперсия 0-15° 0,34

запас. 15-261,90° 31,98

расчет 3502/261,90 13,37

запас., 261,90-294,25 3,87

расчет, 9110/294,25 30,96

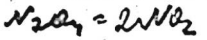
$80,52 \pm 0,45$

норма внесена 0,10

дисперсия 92,0162 паво-
бесов азот $N_2O_4 + NO_2$
и расчет норма со временем
выше нормы внесена пав-
бо 80,62 ± 0,15 з.п.

на сорбацию сажи
на паво-бесов $NO_2 =$
 $= NO + \frac{1}{2} O_2$ расчет
трансформации сажи
изделия NO_2 в газовую
форму генерации до 900%

две среды имеют $v_1 = 1263$,
 $v_2 = 1360$, $v_3 = 152$, $v_4 = 813$,
 $v_5 = v_6 = 144$, $v_7 = ?$, $v_8 = 283$,
 $v_9 = v_{10} = 380$ и $v_{11} = v_{12} = 520 \text{ см}^{-1}$
температура $t = 8 \cdot 425^{\circ}\text{K}$.



$$\ln 294,25 L = 0,168 -$$

Broadley J.S., Robertson J.H.

Snob

Nature, 1943, 164; 915

3

N_2O_4 (eaz)

11.11.

1950

N₂O₄ Bernstein H.J., Burns W.G.

nozems. byzg. Nature 1950, 166, 1039

Opp-5301-III

Боjetы van Nieuw Sarber
с dinitrogen tetroxide

1950

 N_2O_4

Graefchen J. O.S., Millen D.J.,

J. Chem. Soc. 1950, 2020.

Paramagnetic Ni^{II} (quasi.)

W_2O_4 . Chakrabarti, Daudel R.

1952

J. Chim. Phys. 49, (2) 77-81.

Compt. Rend. (B) 231, 855-856, 1950.

Бесцвр. изумруд

Синеватое зеленое

W_2O_4 .

497-17

N_2O_4 (колебательн.постоянные 1952

Perkins W.D., Wilson M.K.

Phys. Rev., 1952, 85, 755

The vibrational spectrum of
dinitrogen tetroxide

C.A., 1953, 6756g

NaD_4

[Lorraine 12672] 1953.

Carrington T., et al.

Reference
by Carrington
et al.

J. Phys. Chem., 1953, 57
p. 4, 418 - 427.

N₂O₄

Christensen M. T.

1954

Thompson H. W. Frans.

Farad. Soc. 50, 1027-30

Браун. номерение
N₂O & N₂O₄.

1954

N₂O₄? Smith D.W., Hedberg K.,

J. Chem. Phys., 1954, 22, 1282.

Discovery of a new gas -
N₂O₄.

Стюз, Читтакер

1956

Steeze C. M., Whittaker A. G
Greenville

J. Chem. Phys., 1956, 24,
N4, 776-779

Спектропотометрическое

исследование равновесия

$D(O_2N-NO_2)$ \rightleftharpoons $NaO_2 + 2NO_2$ в твердой фазе

смеси гипоксидного азота

Феде

сбагу

X - 54 - 6 - 18454.

Использование N_2O_4 в ракетной
газе. Конц. N_2O_4 в ракет. газе определяется
по определению массового соотношения.
Что для этого конц. N_2O_4 в ракет.

Приемлемое значение различия логарифмов $\frac{1}{T}$
 $n D(D_{1,N} - D_2) = 19,5$ или в ракетном
газе.

N₂O₄

Nixon E., R., Wiener R.N.

1956

Spectrochim. acta, 1956, 8, 299

ИК спектр ненасыщего N₂O₄

W.P. cooling.

Очн. максимум: 684 см⁻¹

1956

Nedry

Smith D. W., Heolberg K.,

ppm. . .

J. Chem. Phys., 1956, 25, 1282-83, N¹⁵

low temperature experimental conditions

reservoir atom Nedry.

499

Heavy superconducting ac. rot. N₂ mole

1

- trans. - eutectics. T = 20 ± 5°C, rads.

||

Geometric mean, $r_{N-N} = 1.75 \text{ \AA}$;

$r_{N-O} \sim \text{ca } 0.01 \text{ \AA}$, measured in $\text{CONO} \sim \text{ca } 30^\circ$

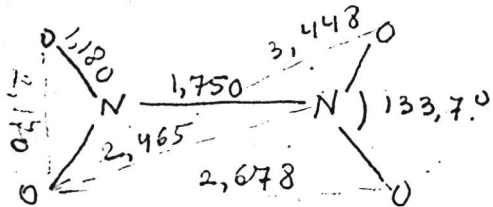
Some new C parameters in Geodesic in

$N-O = 1.198 \pm 0.005$  $\angle O-N-O = 134.04^\circ \pm 15.1^\circ$

N_2 (resp.). Geodesic type structures, in

approximate ratio 2:1, about 4.

B mekane hayseelisyn. 3/20, no. numbers,
no. can priority receive credit - may
remain



N₂O₄ | Sunder R.Y., Misatrune, J.C., 1956

Gravfoed B.

Stereochem. acta, 1956, 8, 305

ИК спектр N₂O₄ в газообр. жидкостях
и растворах. данные

Кр. Содин

490-IV

1957

H_2O_4

(Vi, синтетическое)

NO_2

(Vi, синтетическое)

Coulson G.A., Duchesne J.

Bullett. sci. Acad. roy. Belgeque,

1957, 43, 11 S, 522-532 (Белгия, Ун-т Брюсселя)

Изучение H_2O_4 в воде при различных
концентрациях

ЛХ, 1958, N 14, 93616



10

499-177

1957

N_2O_4 (NO_2)

Snyder R.G., Hisatsune I.C.

J. Chem. Phys., 1957, 26, N 4,
960 (антн)

Инфракрасный спектр N_2O_4 .

РХ., 1957, N 24,

76421

10

1953

снегоп
№ 061

Snyder R. G., Hisatsune J. C.,
J. Molecul. Spectroscopy,

1957, 1, 139

Изопропаногидрин снегоп № 04.

V_D = 1382

Кубики

10

N_2C_4

1957

Wiener R.H., Nixon E.R.,

J. Chem. Phys., 1957, 26, 906-8, N.Y.
U.S. census No 04.

Polymers, alkenes. measured up to 180°
 $800 - 3500 \text{ cm}^{-1}$. Optical常数 & 热力学
 $R (18-30) \text{ cm}^{-1}$, $\nu_{11} + R 1280$.

$\nu_4 (163)$ - - - $\nu_1 (1321)$ 29.0.0.0.0.0.

$\nu_{10} 441$. $\nu_5 (1696)$ - - -

$\nu_{12} 738$ $\nu_9 1734$

$\nu_{12} + R 756$ $\nu_9 + R 1760$

$\nu_{11} 1256$ $2\nu_2 (1371)$ - -

Lattice modes
emissivity

ν_1, ν_2, ν_3 A_g

ν_4 Au

ν_5, ν_6, ν_7 B_{1g}

ν_7, ν_8 B_{1u}

ν_8, ν_9 B_{2g}

ν_9, ν_{10}, ν_4 B_{2u}

R_x B_{3g}

$\nu_{11}, \nu_{12}, \nu_x$ B_{3u}

ν_{10} - asymmetric wagging in plane

ν_{12} asymmetric bend NO₂

ν_{11} NO bending.

ν_9 " "

ν_7 out of plane vibration wagging

no Raman - Freq $\nu_7 \approx 616.8 \text{ cm}^{-1}$

(recursion energy: $\omega_{\text{max}} / \sqrt{6}$)

R - torsional
lattice mode

1958

P. Gray, P. Rathbone

N_2O_4

J. Chem. Soc., 1958, 3550-7.

Dunes. migrans N_2O_4

CA S3 1958
WZ 57994..

J.Jacob

1958

Симп. зеуд. № 1, 1950-3

Рефракция конфигурации рабочего
реактора $N_2O_4 \rightleftharpoons 2NO_2$ с 10% негода
и 1% супердимером.

Сравнивал методом коэффициентов
 WO_2 ($V_{3.7617} \text{ см}^3$) и N_2O_4 ($V_{11} = 1255$),
супердимером X.

Блок 391
1958/1

CA 53, 1959

WII 57294 e

При дава. 13,5 км/кг при темп вспомог

$$K_{25^{\circ}} = 0,10$$

$$K_{30,5^{\circ}} = 0,17$$

$$K_{42^{\circ}} = 0,46.$$

Для 1. Чистоты
и коррекции г.к.

Санитария
всех видов
закон
Пашберга - Берес

W.D. | begun G.M. | 1959

Spectrochim Acta, 19, 784.

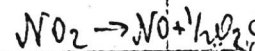
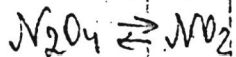
(Report of meeting)

Panam u U.K. Cheung Wiley.

↓ →
Cheung u Wiley.
Wiley u VTB.

Data presented range

1959



Melrose City

Dissociation of nitrogen tetroxide and nitrogen dioxide. E. D. Coon, William E. Streib, Joseph R. Siefker, and Cortes L. Perry (Univ. of North Dakota, Grand Forks). U.S. Dept. Com., Office Tech. Serv., AD 220,479, 9 pp. (1959). Spectrophotometric studies in the wavelength region from ultraviolet to 7000 Å., based on the light absorbance by the brown color due to NO₂, indicated, (1) the dissociation $\text{N}_2\text{O}_4 \rightleftharpoons 2\text{NO}_2$ is not complete at <200°, (2) the reaction $\text{NO}_2 \rightleftharpoons \text{NO} + \frac{1}{2}\text{O}_2$ begins at 60°, and (3) another oxide of N; probably N₂O₃, is present at intermediate temps.

CA

C.A. 1963.58.8

45948

1959

No

Fitzley W.G., Bent H.A., Crawford B.J., Jr.

 N_2O_2

J. Chem. Phys., 1959, 31, 224!

 N_2O_3 Re-creation of upper species from dissociated
azote. N_2O_4

B. express approval, also 45.

 N_2O_5 successively re-creating NO , N_2O_2 ,

azote.

 NO_2 , N_2O_4 , N_2O_3 & N_2O_5 .

MK

Cyanas reebs

N_2O_4

T

Mesatsune J.C., Delvin J. P.

1959

J. Chem. Phys., 1959, 31, 1130-31, NY

Cyanoacrylate response N_2O_4 .

Response measured by
Fateley, Bent, Crawford

[J. Chem. Phys., 1959, 31, 204] of cy-
anoacrylate measured from
Vol 4 accessories section

ONO_2

1959

N₂O₄

The spectra of nitrogen oxides. I. The spectrum of N₂O₄. I. C. Hisatsune (Kansas State Univ., Manhattan). U.S. Dept. Com., Office Tech. Serv., PB Rept. 143,667, 60 pp.(1959).—The structural and spectroscopic data on the known N oxides is reviewed. The investigation of N₂O₄ is discussed. Results are given of exptl. studies of the infrared spectra of the liquid and solid, the Raman spectra in the liquid and solid phases, the assignment of the spectra, the calcn. of heat capacities and entropy of the solid, and the normal coördinate analysis by using a modified valence force field. Exptl. evidence is given showing the existence of isomers of N₂O₄. 56 references.

K. L. C.

C.A. 1961, 55, 17

16141c - 16142a

494-IV

N_2O_4 (ж)

1959

Hisatsune J.C., Fitzsimmons R.V.
Spectrochim.acta, 1959, N 3-4,
206-210

Спектр комбинационного рассеяния
жидкого N_2O_4 .

РХ., 1960, N 6, 21107

1959

N₂O₄N¹⁴O₂

Jacob J.,

J. Chim. phys., 1959, 56, 296.

Онрегенерация концентрации рабочего
вещества NO₂ и N₂O₄
с помощью ИК спектропсии
и обратимым превращением 2920
всего.

N_2O_4 (D_0) 496-III

1959

Horten H., Steise W.

Z. Elektrochem., 1959, 63, Nr. 162-166 (Korr.)

Die Kinetik der Reaktionen des Dichlormonoxys
mit N_2O und mit N_2O_5 in der Lösungssphase.

PIH Russ., 1960,
21514

E3 N C

N_2O_4

Parson A. S.,
Searcy A. W.

1959

Z. Chem. Phys., 30, 1635.

Предсказание формул гибридных
однотиповых ковалентных
молекул в азоте.

(ан. $N_2\frac{M_y}{III}$)

1960

III - 487

12Б109. Инфракрасные спектры поглощения и спектры комбинационного рассеяния $N^{14}_2O_4$ и $N^{15}_2O_4$.
Begun G. M., Fletcher W. H. Infrared and Raman spectra of $N^{14}_2O_4$ and N_2O_4 . «J. Molec. Spectrosc.», 1960, 4, № 5, 388—397 (англ.).—Изучены спектры комб. расс. (кристаллы, жидкость при -35°) и ИК-спектры поглощения (жидкость, газ) $N^{14}_2O_4$ (I) и $N^{15}_2O_4$ (II), содержащего изотопа N^{15} 98% и более. Эксперим. данные однозначно исключают несимметрич. структуру Паулинга O_2NONO . Выбор между двумя другими возможными структурами — этиленоподобной (D_{2h}) и модели с кольцом $NONO(D_{2h})$ сделан на основании данных по изотопич. смещению полос, свидетельствующих в пользу первой из них. Предложена следующая интерпретация основных частот I и II (см^{-1}): 1379,6 (I), 1360,2 (II), (v_1, Ag , вал. кол. NO) 808, 797 (v_2, Ag , деф.

см. н/об

2.1961.12

кол. NO_2), 266, 264 (v_3 , A_g , вал. кол. N — N), 1712, 1672 (v_5 , B_{1g} , вал. кол. NO), 482, 478 (v_6 , B_{1g} , маятниковое кол. NO_2), ~429, ~420. (v_7 , B_{1u} , веерное кол. NO_2), 672, 654 (v_8 , B_{2g} , веерное кол. NO_2), 1748, 1707 (v_9 , B_{2u} , вал. кол. NO), ~381, ~377, (v_{10} , B_{2u} , маятниковое кол. NO_2), 1262, 1251 (v_{11} , B_{3u} , вал. кол. NO), 750, 739 (v_{12} , B_{3u} , деф. кол. NO_2). Неактивное колебание A_u в спектрах I и II не обнаружено. Предложенная интерпретация спектров I и II хорошо удовлетворяет правилу произведений частот. Заметное расхождение имеет место лишь для колебаний B_{2u} , что объясняется эксперим. трудностью точного значения частоты v_{10} . При помощи предложенного набора основных частот даны отнесения для наблюденных обертонов и основных тонов.

В. Александри

N₂D₄

Begun & H.
Fletcher W.H.

(1960)

U.K. cu.

~~45~~

J. Mol. Spectr., 4, 15, 388-397.

~~1~~
~~45~~

U.K. и Раман смесь N₂O₄, N₂¹⁴O₄.

340-550 cm⁻¹. U.K. rays and
Raman obs. of N₂¹⁵O₄.

	$\omega_2^{14}\text{O}_4$	$\omega_2^{15}\text{O}_4$
V_1	1373,6	1360,2
V_2	808,	797
V_3	266	284
V_4	-	-
V_5	1712	1672
V_6	482	478
V_7	~429	~420
V_8	672	654
V_9	148	1707
V_{10}	~381	~377
V_{11}	1262	1251
V_{12}	750	739

$\omega_2\text{O}_4$ unlock. D_{2h}

$$^2 N-N = 1,75 \text{ \AA} \quad \angle \text{ONO} = 134^\circ 4'.$$

$$^2 N-O = 1,88 \text{ \AA}$$

II - 484

1960

7B214. Спектры инфракрасного поглощения и комбинационного рассеяния $N_2^{14}O_4$ и $N_2^{15}O_4$. Beguin G. M.,

Fletcher W. H. Infrared and Raman spectra of $N_2^{14}O_4$

and $N_2^{15}O_4$. «J. Molec. Spectrosc.», 1960, 4, № 5, 388—397

(англ.).—С целью получения полных данных о колебательном спектре $N_2^{15}O_4$ (I) исследованы спектры ИК-поглощения газообразного и жидкого I в области 340—5500 см^{-1} и спектры комб. рас. жидкого и твердого I. Интерпретация спектра произведена на основе плоской структуры молекулы с симметрией D_{2h} . Установлены частоты всех 11 активных основных колебаний. Для точного определения изотопич. сдвига получены соответствующие спектры $N_2^{14}O_4$. Библ. 15 назв.

В. Пивоваров

оп. 1961.6

136

III - 487

W. D. G.

Infrared and Raman spectra of $N^{14}_2O_4$ and $N^{15}_2O_4$. G. M. Begun (Oak Ridge Natl. Lab., Oak Ridge, Tenn.) and W. H. Fletcher. *J. Mol. Spectroscopy* 4, 388-97(1960).— The infrared spectra of gaseous and liquid $N^{15}_2O_4$ were observed from 340 to 5500 cm^{-1} and the Raman spectra of liquid and solid $N^{15}_2O_4$ were recorded. The corresponding spectra of $N^{14}_2O_4$ were observed, to provide an accurate measure of the isotope shifts. Assignments of all 11 active fundamental frequencies were made. These assignments fit the product rule within exptl. error and account for all observed overtones.

P. M. B.

C.A. 1961. 55-21

20618 h

1960

Semen G. M., Fletcher W. H.,

J. Chem. Phys., 1960, 33, 1083 (v 4).

Одномерный цикл по со-
ставу молекул, со-
седающих на одной атоме.

Изменение орбитальной энер-
гии молекул N_2 , N_2O , NO , $NOCl$,
 NO_2 , NO^- , NO_3^- и N_2O_4 при $T = 20$
до $600^{\circ}K$.

спектр смеси газов $N_2^{14}O_4$ в
Бегин, Флобер [J. Mol. Spectroscopy, 1960, 4,
388]: 1320, 808, 266, 150, 1712, 482, 429, 672, 1748,
381, 1262, 750.

1960

N₂O₄N₂O₃paresus2nd 1960

The spectra of nitrogen oxides. II. The Urey-Bradley force constants in N₂O₄ and the infrared spectrum of solid N¹⁵₂O₄. I. C. Hisatsune (Kansas State Univ., Manhattan). U.S. Dept. Com., Office Tech. Serv., PB Rept. 148,716, 47 pp. (1960); cf. CA 55, 16141i. Force consts. were calcd. for NO₂, nitrite ion, and N₂O₄. The results of these calcns. substantiate the assignment of the fundamentals made previously and also the existence of pronounced interaction of the 2 nitro groups in N₂O₄. The infrared spectrum of N¹⁵₂O₄ in the solid phase was obtained, 2-35 μ . Approx. temp. dependence of the solid spectrum was also investigated. These data do not necessitate any changes in the interpretation of the spectral data obtained previously. The complete infrared and Raman spectra of N₂O₄ are summarized and interpreted. III. The spectrum of N₂O₃. *Ibid.* 148,712, 38 pp. The infrared spectra of N¹⁴₂O₃ in the liquid and solid phases, the infrared spectrum of N¹⁵₂O₃ solid, and the Raman spectrum of N¹⁴₂O₃ in CH₂Cl₂ solns. are reported. All fundamentals but the torsional mode were identified, and the complete spectroscopic data were assigned by using these fundamentals. Statistical entropy calcns. were made with these fundamentals and assumed geometry of the mol. Such calcns. indicate that both the torsional frequency and the potential barrier against internal rotation about the N—N bond are very low. These calcns. were consistent with the

C.A. 1962-5732995 cdeSee
ref

recent thermodynamic measurements made by Beattie and Bell (*CA* 51, 11823d) on the reaction $\text{NO} + \text{NO}_2 = \text{N}_2\text{O}_3$, but not with those of Verhoek and Daniels (*CA* 25, 2904) made earlier for the same reaction. The temp.-dependence studies of the N_2O_3 solid spectrum were made and they show that an unstable isomer of N_2O_3 exists. 30 references. CA

ex
No

1960

5B68. Постоянные потенциала Юри—Бредли в двуокиси азота, ионе нитрита и четырехокиси азота. Hissatsune I. C., Devlin J. P., Califano S. Urey-bradley potential constants in nitrogen dioxide, nitrite ion and dinitrogen tetroxide. «Spectrochim. acta». 1960, 16, № 4, 450—458 (англ.).—Силовые поля типа Юри—Бредли использованы для вычисления колебательных силовых постоянных в NO_2 , NO_2^- и N_2O_4 . В случае NO_2 3 независимые постоянные при помощи метода наименьших квадратов были приведены в соответствие с 6 наблюденными частотами изотопич. молекул с N^{14} и N^{15} . На вычислительной машине IBM-650 при использовании 9 наблюденных частот плоских колебаний N_2O_4 вычислены 7 силовых постоянных молекул, удовлетворительно воспроизводящих частоты изотопич. молекул.

оп. 1961·5

1960

 N_2O_4
 N_2O_3

0.1961.8

8B154. Инфракрасный спектр некоторых нестабильных изомеров N_2O_4 и N_2O_3 . Hisatsune I. C., Devlin J. P., Wada Yasuo. Infrared spectra of some unstable isomers of N_2O_4 and N_2O_3 . «J. Chem. Phys.», 1960, 33, № 3, 714—719 (англ.).—Получены ИК-спектры твердой фазы N_2O_4 (I) и N_2O_3 (II) в области 450—3000 cm^{-1} при т-рах от —80 до —160° С. Для интерпретации спектров использовано изотопич. замещение N^{14} и N^{15} . Спектр молекулы I интерпретирован в предположении существования двух нестабильных изомеров, полосы которых исчезают при повышении т-ры. Для изомерной формы симметрии V_d интерпретация полос дана на основании сопоставления эксперим. данных со спектрами изоэлектронной молекулы B_2Cl_4 . Полосы второй изомерной формы (ONONO_2) интерпретированы по характеристич. частотам нитрогрупп. Для молекулы II авторы предположили одну нестабильную форму (ONONO), что требует дополнительной проверки, т. к. не все полосы интерпретированы. Показано, что стабилизация изомеров достигается при т-ре —196° С.

И. Рудявская

1960

 N_2O_3

Misatsune I. C., Delvin J. P.,

 N_2O_4

Wada Y.,

УК синтез

J. Chem. Phys., 1960, 33, 714 (~3).

УК синтеза гексагидро
пирролидина ионов N_2O_4
и N_2O_3 .

Nelis em. rauva (D'Or, Tarte)

- 1830 NO bar . & L]. oxygen
1615 NO bar
1309 NO bar
270 NO₂ scsp.
[625] NO₂ wag
430 NO wag
[350] NO₂ wag
[260] NN bar.

1960

N₂O₄

N₂O₃

Infrared spectra of some unstable isomers of N₂O₄ and N₂O₃. I. C. Hisatsune, J. P. Devlin, and Yasuo Wada (Kansas State Univ., Manhattan). *J. Chem. Phys.* 33, 714-19(1960).—The temp. dependence of the infrared spectra of N₂O₄ and N₂O₃ in the solid phase at liquid-N temp. was investigated. From these spectra of both N¹⁴ and N¹⁵ isotopic mols., absorption bands which may be assigned to unstable isomers of these N oxides were identified. A reasonable interpretation of these absorption bands can be made by assuming the existence of 2 unstable forms of N₂O₄ and 1 of N₂O₃.

Henry Leidheiser, Jr.

C.A.1961-55·6·51229

Sely | Hisatsune J.C., Fitzsimmons R.V. ¹⁵⁶⁰

Spectroclim Delta, 1959, 206-10.

Park-camp mag K. H_2O_4 .
-W^o. Boys mixed 4358A° Kg.

CA SB NJ

19568 ✓

1960

N₂O₄

Electronic structures and spectra of nitromethane and nitrogen dioxide. K. Lenore McEven (Univ. Montreal, Can.). *J. Chem. Phys.* 32, 1801-14(1960).—The electronic structures and spectra were calcd. by a semiempirical method. The self-consistent mol. orbitals and energies of the π -electron system were calcd. For the nonbonding σ -electron system, Hückel-type mol. orbitals were used. The nonbonding $2p$ O orbitals of nitromethane were very slightly modified by mixing with the σ -electron system; in N₂O₄ the totally sym. combination of $2p$ O orbitals and the sp^2 nonbonding N orbital mix strongly to form slightly bonding and slightly antibonding mol. orbitals. The calcd. transition energies of nitromethane were in agreement with expt. For N₂O₄ a series of transition energies was obtained. The complexity of the empirical data and the multitude of calcd. low-energy excited states precluded definite assignment of the observed band systems. Henry Leidheiser, Jr.

C.A.1961.1.102 fz

1960

Wiley
Calculation of equilibrium constants for several isotope-exchange reactions involving N_2O_4 . E. U. Monse (Rutgers, Univ., Newark, N.J.). *J. Chem. Phys.* 33, 312-14(1960).

—By using the frequency assignment for the N_2O_4 spectrum given by Hisatsune (*J. Chem. Phys.* 33, 714-19(1960)) the equil. consts. for N and O exchange between N_2O_4 and N_2O_4 , NO_2 , and NO , and between NO_2 and N_2O_4 , NO_2 , and NO are given at 263.1, 293.1, and 373.1°K.

Henry Leidheiser, Jr.

C.A.1961·55·5·4123g

1960

Monse E. U.,

J. Chem. Phys., 1950, 33, 312.

Расчет работы стекла кон-
систент нескоиских изо-
мереских обменных расак-
ций, включающих N_2O_4 .

- γ_1 1380 Oct. 24, 1958
 γ_2 809 $N_2^{14} C_4^{16}$ co assn.
 γ_3 265 iron 4a seen.
 γ_4 ... porous I.C.Hi.
 γ_5 1712. setrone, Sci.
 γ_6 481 Rep. No 1, 1959,
 γ_7 442 AFRC C-TN-59-
 γ_8 666 453, Septemt of
 γ_9 1748 Chemistry, Kan-
 γ_{10} 385 Sac State Uni-
 γ_{11} 1261 versity, Manhat-
 γ_{12} 750 ten, Kansas.

1961

III - 492

N₂O₄
расч

(15Б14.) Уровни энергии четырехокиси азота. Green M., Linnett J. W. Energy levels in nitrogen tetroxide. «Trans. Faraday Soc.», 1961, 57, № 1, 10—13 (англ.).—Полуэмпирическим методом MO ЛКАО рассчитана энергия основного состояния молекулы N₂O₄. Рассчитано 2 варианта: при эксперим. значениях межатомных расстояний и углов димера N₂O₄ и для расстояний R_{NO} и углов ONO, соответствующих мономеру NO₂. Найденные значения разности энергий димера и двух мономеров равны соответственно 70 ккал и 37 ккал; эксперим. значение 13 ккал. Показано, что связь двух атомов N, в отличие от предполагавшегося ранее, не является чистой π -связью, а преимущественно обладает характером σ -связи. Найдено, что энергетически наиболее выгодна плоская конфигурация.

С. Ветчинкин

x. 1962. 15

N_2O_4

NO_2

Serre Josiane.

1961

Molcc. Phys.

4, N3, 269

Об электронной структуре
 NO_2 и ее место в группе
и N_2O_4 .

(Cell. NO_2) III

№ 24

Иванчургадзе Р.Р.

1961

Диссертация № 3.

Опубликована в журнале
1961, 10, № 5, 583-588

Изучение и корректировка
структурных изменений
и сопротивления соединений
азота.

92 1961. 10
10 В 162

1962

N₂O₄

1 Б349. Определение константы равновесия диссоциации четырехокси азота в газовой фазе методом инфракрасного поглощения. Dunn Michael G., Wark Kenneth, Agnew John T. Determination of the equilibrium constant for the gas-phase dissociation of nitrogen tetroxide by infrared absorption techniques. «J. Chem. Phys.», 1962, 37, № 10, 2445—2449 (англ.)

Константы равновесия (K_p) диссоциации четырехокси азота в газовой фазе ($N_2O_4 \rightleftharpoons 2NO_2$) вычислены из эксперим. данных, полученных методом ИК-поглощения. Выполнено колич. определение NO_2 в смеси при различных т-рах и давлениях по наблюдению полосы поглощения двуокиси азота при $3,425 \mu$. Приведены значения K_p в области т-р от 300 до $370^\circ K$. Отмечается, что полоса $3,21 \mu$, ранее отнесенная к NO_2 , должна принадлежать N_2O_4 .

Резюме авторов

Х·1964·1

III 2463 | 1962
N₂O₄ (W_i, Cr₍₇₈₎, S, cисо-дие-
нонитрогенное)

Hisatsune I. C.

ЕСТЬ ОРИГИНАЛ

Advances Molec. Spectrosc. Vol. 3, 1962,
(авн) 982 - 988

The assignment of the N₂O₄ spectrum

Prepr., 1963, 9264

10

Q

1962

N_2O_4, NO_2

Determination of the equilibrium constant for the gas-phase dissociation of nitrogen tetroxide by infrared absorption techniques. Michael G. Dunn, Kenneth Wark, Jr., and John T. Agnew (Purdue Univ., Lafayette, Indiana). *J. Chem. Phys.* 37, 2445-9(1962). The gas-phase equil. consts. (K_p) for the dissociation, $N_2O_4 \rightleftharpoons 2NO_2$, were calcd. from exptl. data based on infrared absorption techniques. The quant. analysis of NO_2 in the mixt. was made at varying pressures and temp. by observation of the $3.425\text{-}\mu$ NO_2 absorption band. Values of the equil. const. are given for the range 300-70°K. It was also ascertained that the $3.21\text{-}\mu$ band previously assigned to NO_2 should be assigned to N_2O_4 .

CA

Partial pressure

DATA

C.A. 1963.58.1

65a

1962

N₂O₄

7.Д230. Определение константы равновесия диссоциации газообразного четырехокисла азота методом ИК-поглощения. Dunn Michael G., Wark Kenneth, Jr., Agnew John T. Determination of the equilibrium constant for the gas-phase dissociation of nitrogen tetroxide by infrared absorption techniques. «J. Chem. Phys.», 1962, 37, № 10, 2445—2449 (англ.)

Константа равновесия диссоциации $N_2O_4 \rightleftharpoons NO_2$ получена из эксперим. данных, основанных на количеств. анализе двуокиси азота по ИК-спектрам. Изучалась зависимость интенсивности полосы поглощения NO_2 у $3,425 \mu$ от т-ры в интервале 300 — $370^\circ K$. Установлено, что полоса у $3,21 \mu$ принадлежит не NO_2 , как считалось раньше, а N_2O_4 . Показано, что ИК-спектроскопия может быть успешно использована для количеств. анализа газовых смесей.

оф. 1963-7

1962

N₂O₄

Guttmann A., Penner S. S.

дисперсия

J. Chem. Phys., 1962, 36, 98дисперсия в аэрозоли определя-
ема методом гидролизаN₂O₄ → 2 NO₂ в мицеллах-которые образуются в аэрозолях
разделяющихся в УК синтезе

поли-диоксиэтиленов с

бензилом

 $\Delta H^\circ = 13693 \pm 14$
 298 каспии N₂O₄)нагревают Dysonem
и Кавеном

I962

N₂O₄

Le Goff Renée, Serre Josiane

Theoret.chim.acta, I, No I, 66

Электронная структура NO₂, N₂O₄

1962

 N_2O_4

Guttmann H., Penner S.S.

 DHF

Железнодорожное сопре-
вление термодинами-
ко сущающее $N_2O_4 \rightarrow 2NO_2$
но зависит от абсолют-
ной температуры в
УК-спектре от неиз-
вестного.

X · 1963 · 2 рабочий.

an. NO_2 , III, "Z. Chem. Phys.", 1962, 36, N1, 98-99

1962

W.O.Y.
Checkup
(u.n.)

The assignment of the N_2O_4 spectrum. I. C. Hisatsune (Kansas State Univ., Manhattan). *Proc. Intern. Meeting Mol. Spectry.*, 4th, Bologna, 1959 3, 982-8(Pub. 1962). The infrared and Raman spectra of N_2O_4 in the liquid and solid phases at low temp. were investigated. Vibrational frequencies of N_2O_4 in the solid, liquid, and gas phases are listed and assignment of the fundamental modes is made. By using the solid assignment, the heat capacity of solid N_2O_4 was calcd. as a function of temp., 20-262°K. (m.p.), by means of the empirical equation: $C_p - C_v = [aC_{(\text{lattice})} + bC_{(\text{internal})}]^2 T$, where $a = 9.5 \times 10^{-3}$, $b = 3.0 \times 10^{-3}$, $C_{(\text{lattice})}$ is calcd. by using a single Debye temp. $\Theta = 178^\circ$, and $C_{(\text{internal})}$ is calcd. by using the vibrational frequencies reported in this work. The calcd. C_p values agree well with exptl. values. The calcd. entropy at the m.p. is 32.30 e.s.u., in good agreement with the exptl. value of 32.32 e.s.u. A normal coordinate calen., by using a modified valence force field, was attempted.

S. E. Vandenberg

B.P. - 2463-III

C.A. 1963 59.4
408/a

1962

N₂O₄

9 Д64. Интерпретация спектра молекулы N₂O₄. Hisatsune I. C. The assignment of the N₂O₄ spectrum. «Advances Molec. Spectrosc. Vol. 3». Oxford—London—New York—Paris, Pergamon Press, 1962, 982—988. Discuss., 988 (англ.)

Используя эксперим. значения частот колебаний молекулы N₂O₄, автор рассчитал теплоемкость в твердом состоянии в интервале t-p 20—262° K и энтропию в точке плавления. Рассчитанные значения хорошо согласуются с экспериментальными. Методом Вильсона произведен расчет силовых постоянных плоских колебаний молекулы. Некоторые из рассчитанных силовых постоянных хорошо согласуются с силовыми постоянными NO₂. Более подробно обсуждаются колебания типа B_{1g} и B_{2u}. Делается заключение, что предложенное автором отнесение частот спектра правильно.

У. Зирнит

• 1963.9

№ 204

Строение II

Б92-5093-11

ф. 1964. 6 л

№ 6 Д141. Димеры двуокиси азота. II. Строение и характер связей. Bent H. и др. A. Dimers of nitrogen dioxide. II. Structure and bonding. «Inorgan. Chem.», 1963, 2, № 4, 747—752 (англ.)

196

Обсуждается электронная структура одного из димеров двуокиси азота, имеющего структуру ONONO_2 . Спектроскопич. данные указывают на существование нескольких конформационных изомеров со структурой ONONO_2 . Предполагается, что электронная структура центральной связи N—N соответствует вытянутой σ -связи, а не чистой π -связи. Подробно обсуждается вопрос о влиянии неподеленных пар электронов на электронную структуру и геометрию молекулы; в частности, указывается, что взаимодействие между электронами неподеленных пар атомов кислорода и разрыхляющей МО-связи N—N является важным и определяет аномально большую длину этой связи. Предложенная трактовка кроме этого позволяет объяснить аномально большую величину угла ONO, высокий барьер внутреннего вращения около связи N—N, плоскостную структуру молекулы $\text{O}_2\text{N}-\text{NO}_2$ и ее большую прочность по сравнению с изомерами ONONO_2 и ONOONO . Ч. I см. РЖФиз, 1960, № 4, 9913.

В. Быховский

$N_2 O_4$

структура

Б92-5093-III

1963

У11 Б62. - Димеры двуокиси азота. II. Строение и характер связей. Вент Ненгю А. Dimers of nitrogen dioxide. II. Structure and bonding. «Inorgan. Chem.», 1963, 2, № 4, 747—752 (англ.)

Обсуждается электронная структура одного из димеров двуокиси азота, имеющего структуру ONONO_2 . Спектроскопич. данные указывают на существование нескольких конформационных изомеров со структурой ONONO_2 . Предполагается, что электронная структура центральной связи $\text{N}-\text{N}$ соответствует вытянутой σ -связи и чистой π -связи. Подробно обсуждается вопрос о влиянии неподеленных пар электронов на электронную структуру и геометрию молекулы. Предложенная трактовка, кроме этого, позволяет объяснить аномально большую величину угла ONO , высокий барьер внутреннего вращения около связи $\text{N}-\text{N}$, плоскостную структуру молекулы $\text{O}_2\text{N}-\text{NO}_2$ и ее большую прочность по сравнению с изомерами ONONO_2 и ONOONO . Сообщение I см. РЖХим, 1960, № 22, 87452.

В. Быховский

д. 1965 · 11

1963

Groth P.

Groth

Acta Chem. Scand., 1963, 17, 2419

4

N₂O₄(gas)

M. 17.

III-2350

NO₂ + NO₄ (O₂)

1963

W. H. RICHARDSON

Schleswig, Jr.

Absolute integrated intensity
measurements on nitrogen monoxide and
dinitrogen tetroxide. "J. Quantitative
Spectrosc. and Radiat. Transfer", 1962,
3, Jan. - March, 1-15 (ann.)

Sept., 1963, 1 0142

10

9/20/4
9/20/4
Cyber
1963

Bop -5093 - 11

Dimers of nitrogen dioxide. II. Structure and bonding.
Henry A. Bent (Univ. of Minnesota, Minneapolis). *Inorg. Chem.* 2(4), 747-52(1963); cf. CA 54, 1069b. NO_2 can form 2 dimers, $\text{O}_2\text{N}-\text{NO}_2$ and ONONO_2 . Each dimer can exist in several conformations. The current status of the spectroscopic evidence for these conformers is discussed and some suggestions are offered regarding their structures and the nature of the N-N bond in $\text{O}_2\text{N}-\text{NO}_2$. From a consideration of the Pauli principle and the occurrence of anticoincidence between spin-sets in the nitro group, it is concluded that the central bond in $\text{O}_2\text{N}-\text{NO}_2$ can perhaps be best described as a "splayed single bond." Vicinal interactions between unshared O atom electrons and the N-N antibonding orbital in $\text{O}_2\text{N}-\text{NO}_2$ appear to be important. Together these factors provide an account for 5 curious features of $\text{O}_2\text{N}-\text{NO}_2$; its long N-N bond, its large ONO angle, its high barrier to internal rotation, its planarity, and its stability relative to the isomers ONONO_2 and ONOONO .

RCHH

C.A. 1963. 59. 6

6021 e

1963

The electronic structures of A_2Y_4 molecules. R. D. Brown and R. D. Harcourt (Monash Univ., Clayton, Victoria). *Australian J. Chem.* 16(5), 737-58(1963). The electronic structures of A_2Y_4 mols. contg. 34, 36, and 38 valence electrons were studied. An approx. V.E.S.C.F.-M.O. method was used, attention being concd. on the delocalization of σ -electrons, which are classically regarded as lone-pairs on the Y atoms. The results provide explanations of the main features of many of the observed AA and AY bond lengths and YAY bond angles of N_2O_4 , $C_2O_4^{2-}$, B_2F_4 , B_2Cl_4 , C_2F_4 , C_2Cl_4 , $S_2O_4^{2-}$, and N_2F_4 . Other A_2Y_4 systems which have either not been fully characterized or not yet reported are also considered. The extent of lone-pair delocalization is governed by a parameter a^σ , related to the coulomb and resonance parameters of Hueckel mol.-orbital theory. General trends in the value of a^σ can be predicted from values of the core charges of A and Y toward the σ -electrons concerned. A more detailed "adjacent charge" rule emerges. It differs from the classical rule in that for A_2Y_4 systems, adjacent neg. formal charges on the A atoms should not very greatly affect the AA bond properties. Difficulties were encountered in consistently interpreting the properties of some A_2F_4 and A_2Cl_4 compounds.

Robert D. Cloney

N₂O₄C.A.1963.59.13
145999 gh

BOP-1637-11

№ 04 Loris R. V. st.

1963

Dire Abstr., 24, N5, 1855

Изложение 24-го - синтеза
оксалов ацидна и кисла
сода при сульфуреции -
реакции.



(Inv. № 2)

O₃, NaO₄ (V.)

3004-III

1963

0026

Люзобеков Т.В., Непрасов Н.И.

ЖК. Физ. Журн., 1963, 37(10), 2317-9

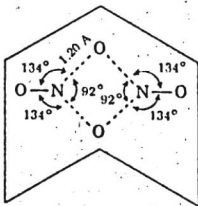
Однородные сплавы на основе
алюминия близкого состава в ки-
мике. 10 CA, 1964, 60, N3, 27183

W2O4
Copy 4/2

Dipole moment of nitrogen dioxide and dinitrogen tetroxide: the structure of the dimer. S. V. Anantakrishnan and D. Setu Rao (Madras Christian Coll.). *Proc. Indian Acad. Sci. Sect. A* 59(5), 292-8(1964). The measurements were made in solvents with available π -orbital electrons and in nondonor solvents which were nonaromatic. Dielec. const. measurements were made by a heterodyne beat method and the solns. were kept in a modified Sayce Briscoe cell. In cyclohexane (I), the dielec. const. of N_2O_4 (II) was less than the sq. of the n , while in the other solvents the reverse was the case. Even allowing for changes in polarization through solvent-solute interactions, it was clear that both monomer and dimer have a definite moment, with II having a higher moment than NO_2 (III). This clearly ruled out any structure of II which was sym. and planar. The dipole moments of III are: (solvent, dipole moments in Debye units by Guggenheim's method, by Harris and Brush's method); benzene (IV), 0.38, 0.41; *p*-xylene (V), 0.41, 0.44; CCl_4 (VI), 0.29, 0.31; I, 0.37, 0.39. For II: IV, 0.54, 0.58; V, 0.57, 0.62; VI, 0.41, 0.44; I, 0.53, 0.56. The existence of electronic interactions between II and IV was shown by the strongly colored solns. invariably obtained. A nonlinear arrangement such as VII is more in conformity with all the properties, including dipole.

S.A. 1964-61-8
8986 cdc

1964



(VII)

moment. An O bridge of the type indicated can account readily for the dimerization of III through the use of the orbitals localized on the O. The larger O-N-O angle and N-N bond distance also follow readily. It is quite possible that the N-O bond in the bridge is somewhat longer by ~ 0.08 Å.

Joanne Burger

bot

N_2O_4

Boggs J.E.

1964

J. Phys. Chem.

68, N8, 2379

жн.

исслед

Физическая химия
и измеримость
 NO_2 и N_2O_4 .



($\text{C}_2\text{H}_4\text{NO}_2$) III

N₂O₄

1964

✓ 2 Д101. Валентные структуры для N₂O₄. Нагсо-
у.р.т. R. D. Valency structures for N₂O₄. «Theoret. Chim.
Acta», 1964, 2, № 5, 437—452 (англ.; рез. нем., франц.)

Предложены два альтернативных набора валентных структур молекулы N₂O₄. Первый получается в результате разложения полной молекулярной волны. ф-ций по системе ортогональных базисных ф-ций, а второй — по системе неортогональных ф-ций. Основным пунктом работы является включение в тот и другой набор валентных структур, соответствующих делокализации электронов неподеленных пар атомов O с включением в общее связывание разрыхляющей MO связи N—N. Веса различных структур для двух наборов отыскиваются вариационным методом с использованием полного гамильтониана молекулы. Полученные результаты показывают, что разложение по неортогональным структурам сходится быстрее, разложение по ортогональным, при этом структура,

ф. 1966 · 29

входящая с наибольшим весом, является ковалентной и по характеру распределения электронов нарушает правило октетов при заполнении уровней атомов первого периода. Однако эта структура лучше описывает связи N—O, чем три ковалентных структуры с наибольшими весами в разложении по ортогональным функциям (критерием является сравнение рассчитанных и измеренных длин связей). Подчеркивается, что делокализация электронов неподеленных пар является важным фактором при установлении электронной структуры молекул.

В. Быховский

N₂O₄

1964

Valence structures for N₂O₄. R. D. Harcourt (Univ. Melbourne). *Theoret. Chim. Acta* 2(5), 437-52(1964)(Eng). Two alternative sets of valence structures are suggested for N₂O₄. They arise because its wave function can be expanded as a linear combination of either orthogonal or nonorthogonal basis functions. These bases imply varying amounts of delocalization of O lone-pair electrons into an antibonding orbital between the N atoms. The nonorthogonal expansion implies fewer significant structures, the most important of which is covalent and apparently violates the octet rule for 1st-row elements. This structure, however, better describes the NO bonds than do 3 covalent structures which have considerable weight arising from the orthogonal expansion.

RCTC

C.R.-1965-62-4
3424c

N₂O₄

4 Д151. Электронная структура молекулы N₂O₄. I. Изучение делокализации σ-электронов. Brown R. D., Nagcourt R. D. The electronic structure of N₂O₄. I. σ-electron delocalization study. «Austral. J. Chem.», 1965, 18, № 8, 1115—1132 (англ.) 1965

Предпринята попытка объяснить наличие сравнительно длинной и слабой связи N—N в молекуле N₂O₄. Объяснение заключается в возможности делокализации, т. е. частичного перехода σ-электронов, не участвующих при обычном рассмотрении в образовании связи N—N, на разрыхляющие незанятые уровни. Рассмотрение проводится по методу самосогласованных МО для системы валентных электронов. В молекуле N₂O₄ в эту систему входят 8π-электронов и 10σ-электронов атомов N и O. Определяется вклад разрыхляющих σ-орбиталей в полный порядок связи N—N. На основании оценки величин интегралов перекрывания делается вывод о том, что на разрыхляющие уровни в основном переходят электроны неподеленной пары атома O.

Л. Лабзовский

Ф. 1966

48

1965

N2O4
No 4

Electronic structure of N_2O_4 . I. σ -Electron delocalization study. R. D. Brown and R. D. Harcourt (Monash Univ., Clayton). *Australian J. Chem.* 18(8), 1115-32(1965)(Eng). A detailed mol. orbital study of the σ - and π -electrons of N_2O_4 is described. In order to distinguish among the 4 valence orbitals used by each O atom in N_2O_4 , they are referred to as the π -, t -, l -, and $\bar{\pi}$ -orbitals. The π -orbital is $2p\pi$, and an assumed trigonal sp^2 hybrid is designated as t -orbital. The l - and $\bar{\pi}$ -orbitals are lone-pair orbitals in the classical valency structure for N_2O_4 . Special consideration is given to possible types of O σ -electron delocalization into antibonding NN and NO orbitals which are vacant in the classical structure. Of these, only depopulation of O $2p\bar{\pi}$ -orbitals into the antibonding NN σ -orbital seems to be of importance for interpreting the NN and NO bond properties. The other σ -electron delocalizations are small, and their contributions to the NO bond orders appear to cancel. A distinction is made between the nature of mol. orbitals arising from combination of π -orbitals on O with the antibonding NN and the antibonding NO orbitals, resp. 31 references.

Glen F. Bailey

C. A. 136:63:10
12340 cd

1965

3709

NaO_4

NO_2 , N_2O_4

(ν_i)

Louis R.V., Crawford B.

J.Chem.Phys., 1965, 42(3), 857-64

Infrared spectrum of ...

J

1965

NO NO

Nitrosonium nitrate. Isolation at 79-205°K. and infrared spectra of the polymorphic compound. L. Parts and J. T. Miller, Jr. (Monsanto Res. Corp., Dayton, Ohio). *J. Chem. Phys.* 43(1), 136-9(1965)(Eng). Nitrosonium nitrate, NO^+NO_3^- , a red solid, was studied spectroscopically at temps. up to 205°K. Reproducible shifts of fundamental frequencies on warming suggest 2 cryst. transformations between 79 and 205°K. The γ , β , and α phases were observed under nonequil. conditions in the following temp. ranges, resp.: 79-185, 167-187; 167-205°K. The fundamental frequencies of the constituent ions in the γ , β , and α phases are: $\nu_{(\text{NO})^+}$; 2215, 2271, 2251 cm.^{-1} ; ν_3 , 1364, 1324, 1328 cm.^{-1} ; ν_2 819, 827, 812 cm.^{-1} ; ν_4 , 716, 716, 711 cm.^{-1}

RCJQ

C.A.-1965-63-3
2534 C

N₂O₄

1966

29 Б605. Экспериментальное исследование $P-V-T$ -свойств диссоциирующей четырехокиси азота. Бубнов В. П., Гусаров В. Н., Кулешов Г. Г., Несторенко В. Б., Тимофеев Б. Д. «Весы» АН БССР. Сер. физ.-техн. и., Изв. АН БССР. Сер. физ.-техн. и., 1966, № 3, 129—134

Методом гидростатич. взвешивания с электромагнитной подвеской поплавка исследована $P-V-T$ зависимость диссоциирующей N_2O_4 при т-рах $500^{\circ}-720^{\circ}K$ и давл. $25-60\text{ кГ/см}^2$. Погрешность измерений составляла $\sim 2,2\%$. С привлечением литературных данных построены изотермы $150, 240, 300, 330, 400$ и $440^{\circ}C$ и изобары $25, 30, 42, 51$ и 61 кГ/см^2 и получены значения уд. веса N_2O_4 при давл. $25-60\text{ кГ/см}^2$ и т-рах $420-720^{\circ}K$. $P-V-T$ данные N_2O_4 удовлетворительно согласуются с литературными, но резко расходятся с данными, рассчитанными по ур-нию состояния со вторым вириальным коэф. Утверждается, что причина расхождений — в ис-оправданием использовании второго вириального коэф. для высоких давлений.

Р. Амамчян

Х 1967.9

N_2O_4
 NO_2

1966

Force constants of N_2O_4 and NO_2 and the viscosity of the dissociating system $\text{N}_2\text{O}_4 \rightleftharpoons 2\text{NO}_2$. A. K. Barua and T. K. Rai Dastidar (Indian Assoc. Cultivation Sci., Calcutta). *J. Chem. Phys.* 43(11), 4140-2(1965)(Eng). By analyzing the exptl. viscosity of the dissocg. system $\text{N}_2\text{O}_4 \rightleftharpoons 2\text{NO}_2$, the force consts. of N_2O_4 and NO_2 were obtained for the Lennard-Jones (12:6) potential. The calcns. made with the force consts. thus obtained suggest that, in agreement with theory, the chem. reaction has no significant effect on the viscosity of a chem. reacting gas mixt.

RCJQ

CA 1966, 64, 2
1373 d

No. D₄ (asymmetris) XIII 1638 1966.

Carr-Wright B.S., Robertson J.H.

Chem.: Common, 1966, #3, 82-83 (new)

✓2D₄: change of dimensions w/ temp.

Published 1968, 17-17 10

N_2O_4

Decius J. C.

11966

J. Chem. Phys., 45, N^o 3, 1069.

11966

XIII

Составление таблицы са-
мых распространенных и пре-
имущественно встречаю-
щихся атомов и групп
атомов — атомов



(см N_2O_4)

N_2O_4

1966

20 Б33. Валентные структуры для молекулы N_2O_4 .

Часть II. Нагсорт R. D. Valency structures for N_2O_4 .

Part II. «Theoret. chim. acta», 1966, 6, № 2, 131—140

(англ.; рез. нем., франц.)

Рассмотрены 12 валентных структур молекулы N_2O_4 , которые, как предполагается, вносят главный вклад в волновую функцию основного состояния этой молекулы. Основное внимание удалено валентным структурам, распределение электронов в которых не соответствует правилу октета. Как установлено в результате расчета средних значений оператора полной энергии молекулы с указанными функциями валентных структур, некоторые

струйчатые

г. 1967. 20

структуры, нарушающие правила октета, соответствуют низкой энергии. Это связано с тем, что возможно сильное резонансное взаимодействие между ортогональными структурами, нарушающим правила октета. Отмечается, что такие валентные структуры, по-видимому, существенны во многих случаях и легко объясняют течение реакций типа S_{N_2} , а также необычные св-ва многих молекул со связями N—N, N—O и др. Часть I см. РЖХим, 1966, 9Б28.

В. К. Быховский

1966

N₂O₄

Valency structures for N₂O₄. II. R. D. Harcourt (Univ. Melbourne, Parkville, Australia). *Theor. Chim. Acta* 6(2), 131-40(1966)(Eng). The energies (i.e. energy expectation values) and wts. of various N₂O₄ valency structures are reported. Certain structures that violate the octet rule are of low energy. This is because their wave functions allow for considerable resonance interaction between orthogonal wave functions that represent non-octet violating structures. 21 references. RCTC

C.A. 1966. 65. 13

19321d

N_2O_4

Venkateswarlu K.,
Mariam S. 1966

Czechosl. J. Phys., 1966, 816,
N4, 290.

Gregorievskijevyj konfederat
mejdu moskovskimi muzejami
vremja $X_2^{Af} 4$.

(cic. $C_2 H_4$)

q. 1966.102

N₂O₄

987

1 Д108. Анализ заселенности связей в N₂O₄, B₂Cl₄, B₂F₄, C₂H₄ и C₃H₄. Мюре Emmett B., j. g. A population analysis of the bonding in N₂O, B₂Cl₄, B₂F₄, C₂H₄ and C₃H₄. «Theoret. chim. acta», 1967, 7, № 2, 144—149 (англ.; рез. франц., нем.)

Методом MO Хюккеля рассчитаны матрицы заселенности молекул N₂O₄, B₂Cl₄, B₂F₄, имеющих изоэлектронную по валентным электронам структуру, но различную геометрич. конфигурацию. В качестве проверки теории дополнительно рассчитаны заселенности C₂H₄ и C₃H₄. Несмотря на грубость приближения, получены значения энергии, описывающие известные стабильные конфигурации молекул и значения потенц. барьера вращения,

оп. 1968. 18

7

соответствующие экспериментальным. Из анализа заселенности связей следует, что N_2O_4 , C_2H_4 будут стабильны в плоской конфигурации D_{2h} ; C_3H_4 , B_2Cl_4 будут устойчивы в повернутой конфигурации D_{2d} , а B_2F_4 может свободно вращаться относительно связи $B-B$. Все расчеты выполнены на вычислительной машине.

А. А. Зембеков

N₂O₄

1967

Klaus.
CB&JL
6

88779g A population analysis of the bonding in N₂O₄, B₂Cl₄, B₂F₄, C₂H₄, and C₃H₄. Emmett B. Moore, Jr. (Boeing Sci. Res. Labs., Seattle, Wash.). *Theor. Chim. Acta* 7(2), 144-9 (1967)(Eng). Population matrices were calcd. from mol. orbital wave functions of N₂O₄, B₂Cl₄, and B₂F₄ in order to understand further the bonding in these mols. which are isoelectronic in valence electrons but different in structure. C₂H₄ and C₃H₄ were included. 20 references.

RCTC

+ 2.

C.A. 1967 66-20

XIII 963 1967

N_2O_4 , C_2H_4 , C_2D_4 , C_2O_4 , C_2F_4 , C_2Cl_4 ,
 C_2B_2 (средние амплитуды колебаний,
Venkateswars L., Mariam S.,
Girijavallabhan C. P.

Bull. Soc. Roy. Sci. Liege, 1967,
Б.С.Р. 36(9-10), 576-582.

CA, 1968, 68, n.26, 117266n. 10.

W2D4

XIII - 544 - B9

1968

80375p Comments on the planarity of dinitrogen tetroxide.
Redinond, Thomas F.; Wayland, Bradford B. (Univ. of Pennsylvania, Philadelphia, Pa.). *J. Phys. Chem.* 1968, 72(8), 3038-41 (Eng). Extended Hueckel theory (the more satisfactory of the 2 methods) and the complete neglect of differential overlap approach of Pople and Segal (1966) were applied to N₂O₄. The great stability of the NO π system inhibits significant contribution from the N-N π-bonding to either N₂O₄ dissociation energy or rotational barrier. Primary sources of the barrier are the dependence of the NO bonding on dihedral angle and the long range O_{pz}-O_{pz} σ-interaction. 20 references.

FBIN

C.A. 1968: 69: 20

N_2O_4

XIII-544-B9

1968

9 Б35. О плоской структуре N_2O_4 . Redmond Thomas F., Wayland Bradford B. Comments on the planarity of dinitrogen tetroxide. «J. Phys. Chem.», 1968, 72, № 8, 3038—3041 (англ.)

Рассматривается вопрос о характере связи N—N в молекуле N_2O_4 . Эта связь характеризуется с одной стороны значительной длиной и малой энергией диссоциации, а с другой стороны — значительным барьером вращения. Расчеты выполнены по расширенному методу Хюккеля (PMX) с учетом зависимости параметров от эффективных зарядов и по методу Попла, Сэнтри и Сигала (ПСС). Отмечается, что PMX приводит, в отличие от метода ПСС к хорошему согласию рассчитанных величин

X·1969.

9

с эксперим. значениями равновесного расстояния N—N, энергии диссоциации, валентной силовой постоянной связи N—N и барьера вращения концевой группы NO₂. С помощью РМХ показано, что вклад N—N π-связи в барьер вращения и энергию диссоциации незначителен, так как он подавляется высокой стабильностью π-системы N—O. Барьер вращения, в основном, обусловлен зависимостью энергии связи N—O от угла поворота и дальнодействующим взаимодействием O—O.

А. Багатурьянц

N_2O_4 , NO_2 (and. noes.) XIII ~~182~~ 1226 1968
13

Seshardi D.N., Viswanath D.S., Kuloor N.R.

Indian J. Pechmol., 1968, 6(9), 251-4.

Force constants for the system di-nitrogen tetroxide \rightleftharpoons nitrogen dioxide and for oxide 5
in equilibrium and oxygen 10

J. Engg. (1969, 32, pt. 4), 149616.

N.D.
2

1968

28363p) Sublimation curve for nitrogen tetroxide. Tabachikov, A. G. (USSR). *Tr. Vses. Nauch.-Tekh. Konf. Termodynam., 5. Dokl. Sekts. "Termodynam. Fazovykh Perekhodov, Poloka Neobratimykh Protsessov" "Teplofiz. Svoistva Veshchestv"*, 3rd 1968 (Pub. 1970), 22-9 (Russ). Leningrad. Tekhnol. Inst. Kholod. Prom.: Leningrad, USSR. Data published in the literature and thermodynamic considerations were used to obtain the following equation describing the sublimation curve: $\log P_s = -20.04113 - (2786.9/T) - 3 \log T$, where P_s is in mm Hg and T is in °K. The equation represents the data of W. F. Giauque and J. D. Kemp (1938) within an accuracy of 0.25%.

D. Meranda

C.A. 1972, Yb. 6

N₂O₄

Bodor N.

1940

Л; син. иод;

Y

J. Amer. Chem. Soc.,
92, 13, 3854.

Акубровое соединение
иодиды с δ-свинцами.

1. Разрушение
иодид гидротермально
иодидов при нагревании
иодов преобразование

дисперсия и дисперсии не
приводящие к соприклю-
чению, содержащие атом
ион кальция.



N_2O_4

Cyrin S.f.

1930

L. fluor. Ilg. Chev.,
378(1), 117.

Cent. n.

(Cee. S_6) II

N₂O₄

24 Б20. Валентные структуры для N₂O₄. III. Наг-
сourt R. D. Valence structures for N₂O₄. III. «Int. J.
Quant. Chem.», 1970, 4, № 2, 173—189 (англ.; рез. франц.,
нем.)

1970

Рассчитаны энергетич. характеристики валентных структур N₂O₄. Полученные результаты показывают, что распределение σ-электронов может быть удовлетворительно описано двумя группами ф-л: 1) резонанс между ковалентной и ионной ф-лами (ф-лы В и D сообщ. II. см. РЖХим, 1967, 20Б33); 2) ф-лой с неспаренной пространственной орбиталью (ф-ла F). Порядок связи N—N оценен в 0,4—0,5. Для этого случая предпочтительнее группа (1), обладающая меньшей энергией, чем (2). Однако при порядке связи около 0,7 энергии этих групп сближаются и оба описания становятся удовлетворительными. Ионная формула в (1) включает нелокализованную связь в группировке NO₂⁺. Она может быть заменена ф-лой с локализованными связями и почти такой же энергией.

Резюме

X·1970·24

N₂O₄

no. 1.
coup-pa

Pearson R. G.

1940

J. Chem. Phys.,

1940, 5, 5, 2164.



(C₆H₅)₃

N₂O₄

1971

20 Б133. Исследование системы 2050 Å в димере окиси азота. Billingsley J., Callag A. B. Investigation of the 2050 Å system of the nitric oxide dimer. «Trans. Faraday Soc.», 1971, 67, № 3, 589—597 (англ.)

спектр

AHv

Kp

Континуум поглощения в области 1800—2400 Å окиси азота отнесен к димеру N_2O_4 ; оценка изменения энталпии диссоциации по т-рной зависимости (140° — 100° К) интенсивности дает $2,24 \pm 0,1$ ккал/моль, согласующееся с результатом ИК-спектроскопич. определения 2,4 ккал/моль. Константа диссоциации димера меняется от $1,3 \times 10^{21}$ молекула·см⁻³ при 100° К до $1,6 \times 10^{23}$ при 298° К. При 300° К в димере заселены заметным образом возбужденные уровни. Максимум поглощения димера расположен при 2050 Å, сила осциллятора системы оценена 0,26.

Б. В. Рассадин



+1 +1 fmn
I X

X 1971.20

1971

N_2O_4

5 Д375. Сечение комбинационного рассеяния для
 N_2O_4 . Chen Che Jen, Wu Frank. Raman scattering
cross section for N_2O_4 . «Appl. Phys. Lett.», 1971, 19, № 11,
452—453 (англ.)

Исследовано комб. рас. на лабораторной установке, со-
стоящей из рубинового лазера в качестве источника воз-
буждения ($\lambda=6943 \text{ \AA}$), фотодиода с фильтром и газовой
куветы длиной 5 см. Получены частоты линий комб. рас.
и поперечные сечения рассеяния для N_2O_4 и N_2 , равные,
соответственно, 1360 и 2330 \AA и $1.4 \cdot 10^{-31}$ и $2.3 \cdot 10^{-30} \text{ см}^2$.

Г. Е. Синельникова

(V_i)

$\phi: 1972: 5\delta:$

$\text{NO}, \text{NO}_2, \text{N}_2\text{O}, \text{N}_2\text{O}_2, \text{N}_2\text{O}_4, \text{N}_2\text{O}_5$ (^{Uo}
_{recom. exp.;}
_{pacrem}) 1971
13

Kelkar V.K., Bhalla K.C.

Khubchandani D.G., XIII 1987

Y. Mol. Street, 1971, 9, N4, 383-391
(carci.)

A CNDO/2 study of nitrogen oxides.

BTE Xmas, 1972, 8530 10

12

1971

N₂O₄

64725s Electron-diffraction investigations of the molecular structures of some oxides of nitrogen. Dinitrogen tetroxide (N_2O_4) and dinitrogen pentoxide (N_2O_5). McClelland, Bruce W. (Oregon State Univ., Corvallis, Oreg.). 1971, 81 pp. (Eng). Avail. Univ. Microfilms, Ann Arbor, Mich., Order No. 71-25,325. From *Diss. Abstr. Int. B* 1971, 32(4), 2099.

N₂O₅

Clipyre
Kapacu

(+1)

✓



C.A. 1972

76. 18

N₂O₄ (4.)

1871

90944g Thermophysical properties of (N₂O₄) in the liquid phase. Maksimov, B. G. (USSR). *Termodin. Perenosnye Svoistva Khim. Reagiruyushchikh Gazov. Sist.* 1971, 2, 178-94 (Russ). Edited by Krasin, A. K. "Nauka i Tekhnika": Minsk, Beloruss. SSR. A review with many refs.

M. Dokladal

неподг.

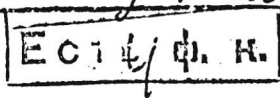
cb - Ba

(обзор)

C.A. 1972. 76. 16

NO_2E (crys. noem., eu.n.) 13 1971
 Na_2O_4 XIII 889
Kamaswamy K., Mohan N.,
Czech. J. Phys., 1971, 21, № 3, 247-55
(am.)

Green's function analysis
of the vibrations of NO_2E
and Na_2O_4 .



10



CA, 1971, 74, N26, 1484231

N_2O_4 (nc)

1971

Vagodovskaya T.V.;
Nekrasov, L.Y.

(u.k. cu.) "Zh. Fiz. khim.", 1971, 45,
N9, 2329-31.

"Infrared absorption spectra..."

• (c.u. NO, III)

N₂O₄

XIII - 2260

1872

19 Б112. Повторное исследование диазоттетроксида N₂O₄ методом газовой электронографии. McClelland B. Giese W., Gundersen Grete, Hedberg Kenneth. Reinvestigation of the structure of dinitrogen tetroxide, N₂O₄, by gaseous electron diffraction. «J. Chem. Phys.», 1972, 56, № 9, 4541—4545 (англ.)

Электронографическим методом в газовой фазе при т-ре 21° С выполнено повторное исследование структуры молекулы N₂O₄. Установлено, что молекула плоская (симметрия D_{2h}). Найдены след. значения межъядерных расстояний (*r*, Å), углов и среднеквадратичных амплитуд колебаний (*l*, Å): *r*_{NN} = 1,782 (0,008₃), *r*_{NO} =

= 1,190 (0,001₈), <ONO = 135,4° (0,5₈), *l*_{NN} =
= 0,0816 (0,0178), *l*_{NO} = 0,0381 (0,0019), *l*_{O₁O₂} =
= 0,0493 (0,0040), *l*_{N...O} = 0,0729 (0,0061), *l*_{O₁O₁} =

и. о. и.

lip-fa

X. 1982. 19

$\gamma = 0,0970$ (0,0167), $I_{O_1O_2} = 0,0730$ (0,0114). Полученные данные хорошо согласуются с результатами предыдущего исследования (J. Chem. Phys., 1956, 25, 1282), однако вновь полученные значения молекулярных параметров на 0,9% больше. Группы NO_2 молекулы имеют структуру очень близкую к структуре свободных молекул NO_2 . Удлиненная связь N—N молекулы и высокое значение ее среднеквадратичной амплитуды колебаний находятся в соответствии с низкой энергией диссоциации.

В. Спиридонов

XIII - d8d6

1973

N₂O₄

N₂O₃

(Vi)

97262v Vibrational spectroscopy of gaseous dinitrogen tetroxide and dinitrogen trioxide. Bibart, Charles H. (Indiana Univ., Bloomington, Indiana). 1973, 122 pp. (Eng). Avail. Univ. Microfilms, Ann Arbor, Mich., Order No. 74-332. From *Diss. Abstr. Int. B* 1974, 34(12), 5925.

(+1)

C.A. 1974, 81, N16

1973

(NO)₂ 2
2 Д146. Теоретическое исследование строения
(NO)₂. Skancke P. N., Boggs James E. A theoretical study of the structure of (NO)₂. «Chem. Phys. Lett.», 1973, 21, № 2, 316—317 (англ.)

Неэмпирическим методом ССП МО ЛКАО с частичной оптимизацией геометрии исследовано электронное строение цис-конфигурации (NO)₂. Использован базис гауссовых ф-ций, содержащий по 7 ф-ций s-типа и 3р-типа для каждого атома, сгруппированный в двухэкспонентный базис. Равновесные длины связей N—N и N—O оценены в 1,74 и 1,16 Å соответственно, что согласуется с оценками по данным ИК-спектров, но занижено сравнительно с рентгеноструктурными данными. Валентный угол N—N—O оценен в 107°, что больше обоих опытных значений. Для найденной геометрии проведен расчет в расширенном базисе, содержащем по 10 ф-ций s-типа и 6р-типа, сгруппированный

1974 № 2

в 5.3. Обнаружено, что заселенность перекрывания в области между атомами N мала, при этом заселенность перекрывания более удаленных друг от друга атомов O достигает почти такой же величины и положительна. Полученные результаты согласуются с представлениями об $(NO)_2$ как о слабо связанной системе из 2 молекул NO. Дипольный момент оценен в 0,63 ед. Дебая.

В. Л. Лебедев

иные

kus - 9915

1974

N_2O_4

Строение
и связь

9 Б23. Строение и связь в четырехокиси азота (N_2O_4). Ahlrichs Reinhart, Keil Freigich. Structure and bonding in dinitrogen tetroxide (N_2O_4). «J. Amer. Chem. Soc.», 1974, 96, № 25, 7615—7620 (англ.)

Неэмпирическим методом ССП МО ЛКАО в сгруппированных базисах лепестковых гауссовых функций (в том числе включавших *d*-функции для атомов N) с учетом конфигурац. взаимодействия (КВ) в приближении парных натуральных орбиталей исследовано электронное строение плоской и скрученной форм N_2O_4 (I) и, для сравнения, NO_2 (II), CO_2 (III) и C_2O_4 (IV). Для I и II использована эксперим. геометрия I и варьировалась только длина связи N—N, а для III и IV использована геометрия II и I соотв.



Х. 1975. № 9

Обнаружено, что только расчет в большом базисе приводит к выводу о стабильности I по отношению к диссоциации на 2 молекулы II. Приведены энергетич. характеристики и карты плотности MO и разностные карты полной электронной плотности. Показано, что большая длина (1,78 Å) связи N—N в I обусловлена делокализацией связывающей электронной пары по молекуле в целом и сильном отталкиванием дважды занятых MO фрагментов NO₂. Планарность I обусловлена балансом противоположно направленных эффектов — отталкивания фрагментов NO₂, благоприятствующего скрученной конфигурации, и связывающих взаимодействий, стабилизирующих плоскую форму. Энергия связи для I оценена в 5,0 ккал/моль (опыт 12,7), силовая постоянная N—N 1,32 мдн/Å. Кратко обсуждена природа связи Э—N в нитросоединениях.

В. Л. Лебедев

N₂O₄

X-4 - 7915

1974

Kb. lett.
spacelab

7824y Structure and bonding in dinitrogen tetroxide (N₂O₄). Ahlrichs, Reinhart; Keil, Frerich (Inst. Phys. Chem., Univ. Karlsruhe, Karlsruhe, Ger.). *J. Am. Chem. Soc.* 1974, 96(25), 7615-20 (Eng). Ab initio computations which included effects of electron correlation were performed at various N-N distances for the planar and the skew structures of N₂O₄. The results prove definitely the σ character of the bond electron pair. An investigation of the wave function by means of contour diagrams and a population anal. show that the very long N-N bond in N₂O₄ is due to the delocalization of the bond electron pair over the whole mol. and to a rather large repulsion between the doubly occupied MO's of the NO₂ fragments. The coplanarity of N₂O₄ results from a delicate balance of the repulsive forces, which favor the skew structure, and of the effects of bonding which favor the planar structure.



C.F. 1975 82 N2

Фонд № 2543

1974.

N₂O₄

1 Д416. Колебательный спектр, потенциал внутреннего вращения и связь в газообразном N₂O₄. Bibart Charles H., Ewing George E. Vibrational spectrum, torsional potential, and bonding of gaseous N₂O₄. «J. Chem. Phys.», 1974, 61, № 4, 1284—1292 (англ.)

Получены ИК-спектры поглощения газообразной двуокиси азота при 200—300° К в слое 6—300 см. Выделены полосы, принадлежащие димеру N₂O₄. Рассчитаны контуры полос типа А, В и С, соответствующие полосы выделены в спектре. В некоторых полосах обнаружена структура, не укладывающаяся в расчет для жестких молекул. Компоненты этих полос связаны с комбинациями с горячими переходами крутильных колебаний N₂O₄. Для полос типа В структура отсутствует. Количеств. анализ комбинационных полос проведен с потенциалом Матье второго порядка. Найденный барьер для внутреннего вращения составляет ~2,5 ккал/моль. Стабилизация плоской структуры димера связана с σ-взаимодействием атомов кислорода NO₂. Библ. 42.

М. В. Тонков

Ф. 1975 № 1

отмосе 2543

1974

N_2O_4

3 Б243. Колебательный спектр, крутильный потенциал и характер связи в газообразном N_2O_4 . Vibag Charles H., Ewing George E. Vibrational spectrum, torsional potential, and bonding of gaseous N_2O_4 . «J. Chem. Phys.», 1974, 61, № 4, 1284—1292 (англ.)

Измерены спектры ИК-поглощения газ. N_2O_4 (I) при различных давлениях в многоходовой кювете (3—30 м). Получены контуры полос основных и составных кол. I и предложена их интерпретация. Вычислены интегральные коэф. поглощения наблюдаемых полос. Используя отнесение прогрессии Q-ветвей составного кол. $540 \text{ см}^{-1} - (v_6 + v_4) + nv_4 - nv_4$ предложен вид потенциальной функции, описывающей крутильные колебания групп NO_2 $V(\Phi) = (V_{2/2}) (1 - \cos 2\Phi) + (V_{4/2}) (1 - \cos 4\Phi)$, где Φ — угол между плоскостями групп NO_2 . В соответствии с этим потенциалом определена величина барьера внутреннего вращения равная 2—3 ккал/моль. Предположено наличие слабых σ -связей между цис-кислородными атомами, что стабилизирует цис-форму (NO_2). Г. Кузьянц

х. 1975. № 3.

annexed 2543 1974

N_2O_4

N_2O_3

(ν_i ; τ_0)

+

C.A. 1974. 81. N2O

B9-1111-89928

129413p Vibrational spectrum, torsional potential, and bonding of gaseous dinitrogen tetroxide. Bibart, Charles H.; Ewing, George E. (Dep. Chem., Indiana Univ., Bloomington, Indiana). *J. Chem. Phys.* 1974, 61(4), 1284-92 (Eng). The ir spectrum of gaseous N_2O_4 was obtained under conditions which allowed study of both strongly and weakly absorbing features. These spectral features were assigned with the aid of vibration-rotation band shape theory. Weakly absorbing sequence bands were identified which contain torsional vibrations. The rocking frequency of the NO_2 group, the only mode which has not been obsd. directly, was estd. from a 3rd law entropy calen. The frequencies obtained, together with previous Raman work provide, for the 1st time, a reliable detn. of all the vibrational frequencies of N_2O_4 . The observation of the torsional mode frequencies has allowed an internal rotation potential function to be estd. which has a barrier height of 2 to 3 kcal/mole. From this potential function, a picture of the bonding in N_2O_4 and other N oxides is presented. It is suggested that in addn. to the N-N bond, weak σ bonds form between the cis O which stabilize the eclipsed O configurations and tend to lock the N_2O_4 mol. into a planar configuration. The planarity of N_2O_3 and the stability of *cis*- $(NO)_2$ can also be explained by these weak O σ bonds.

N₂O₄

Октябрь 2229

1974

*расчет
электр.
структур.*

№ 9 Д143: Исследование азотноватой окиси и родственных молекул методом молекулярных орбиталей Griffiths R. L., MacLagan R. G. A. R., Phillips L. F. Molecular orbital studies of dinitrogen tetroxide and related molecules. «Chem. Phys.», 1974, 3, № 3, 451—462 (англ.)

На основе неэмпирических расчетов электронной структуры рассматривается природа связи в азотноватой окиси N₂O₄. Для сравнения выполнены расчеты NO₂⁻, NO₂ и NO₂⁺ по методу MO ЛКАО в минимальном стерево-ском базисе. Описываются трудности с самосогласованием и методы их устранения. Конфигурация N₂O₄ с наименьшей энергией соответствует заполнению разрывающей MO 6b_{1u}, построенной из σ-орбиталей группы NO₂. Вклад π-связи незначителен. Делается вывод о том, что стабильность димера обеспечивается главным

(9) 1974. № 9

(+) 3

(+) Емельянов

образом за счет трехцентровых
N — O.

взаимодействий N —
В. И. Барановский



N₂O₄

Битов А. 2229

1974

20 Б17. Расчеты МО молекулы N₂O₄ и родственных систем. Griffiths R. L., MacLagan R. G. A. R., Phillips L. F. Molecular orbital studies of dinitrogen tetroxide and related molecules. «Chem. Phys.», 1974, 3, № 3, 451—462 (англ.)

Дл. спирт.

Методом МО ЛКАО ССП проведено исследование электронного строения молекул N₂O₄ и NO₂, а также ионов NO₂⁺ и NO₂⁻. С помощью гауссовых функций рассчитывались все многоцентровые, а также обменные и гибридные интегралы, остальные вычислялись точно на ФСТ (до 10⁻⁶ ат. ед.). Для систем с открытой оболочкой использовался ограниченный и неограниченный метод ССП ЛКАО МО. Итерац. процедура проводилась методами скорейшего спуска и градиентным методом. Приведены карты суммарной электронной



+3

+① Виноградов

Х. 1974. N20

плотности, а также локализованных орбиталей (по Фостеру и Бойзу). Проведенный анализ энергий связей (по Клементи) показывает, что двухцентровая энергия связи изменяется симбатно с маллигеновской плотностью перекрывания. Заселенность перекрывания связи $\text{N}-\text{O}$ уменьшается в ряду $\text{NO}_2^+ > \text{NO}_2 > \text{NO}_2^- \gg \text{N}_2\text{O}_4$, при этом заселенность σ - и π -связей изменяются в указанном ряду следующим образом: $\text{N}_2\text{O}_4 \approx \text{NO}_2^+ < \text{NO}_2 \approx \text{NO}_2^- (\sigma)$ и $\text{NO}_2^+ \gg \text{NO}_2 \approx \text{NO}_2^- \approx \text{N}_2\text{O}_4$. Значение полной энергии молекулы оказывается меньше удвоенной суммы $E_{\text{поли}}$ молекулы NO_2 . Связь $\pi\text{-N}-\text{N}$ практически отсутствует, а σ -связь оказывается довольно слабой. Обсуждается распределение электронной плотности на основании разностных карт.

С. Долин

N₂O₄

11 Б39. Изомер N₂O₄ как модель для объяснения природы антиферромагнетизма димера моногидрата ацетата меди. Нагсорт R. D. An N₂O₄ isomer as a model for the examination of the origin of the anti-ferromagnetism of the copper acetate monohydrate dimer. «Austral. J. Chem.», 1974, 27, № 10, 2065—2073 (англ.)

1974

*расчет
модельной
структуры*

Методом ССП МО с переменными электроотрицательностями и с учетом конфигурац. взаимодействия проведены расчеты модельной структуры N₂O₄, вида шестиугольника, в к-ром атомы N занимают противоположные вершины, $R(N-O)=1,18 \text{ \AA}$, $R(O-O)=2,20 \text{ \AA}$, $\angle ONO=133,7$. Эта структура имитирует два иона Cu и атомы кислорода двух ацетатных лигандов комплекса Cu₂(O₂CCH₃)₄·2H₂O. Расчеты подтверждают, что основной фактор, ответственный за величину синглет-триплетного расщепления ($J=286 \text{ см}^{-1}$), одновременное перекрывание между AO неподеленных пар атомов O каждого ацетатного лиганда друг с другом и с однократно занятymi орбиталями ионов Cu(2+). Отмечено значение 5-электронной 3-центровой связи для интерпретации магнитных св-в нек-рых типов би-ядерных комплексов переходных металлов. Резюме

x 1975 N 11

$(NO_2)_2$

(empyrat. anal.)

(одзоп)

Harris Stephen J.
et.al. 1974

"J. Chem Phys" 1974, 61
N 9, 3866 - 3867 (amu)

(если $(Cl_2)_2$;

XIII-Зе/8

1974

N₂O₄

B₂F₄

Электрон.
состав

10 Б28. Электронное строение четырехокиси азота и тетрафтордибора и анализ их конформационной стабильности. Howell James M., Wazer John R. Van. Electronic structures of dinitrogen tetroxide and diboron tetrafluoride and an analysis of their conformational stabilities. «J. Amer. Chem. Soc.», 1974, 96, № 26, 7902—7910 (англ.)

Неэмпирическим методом ССП МО ЛКАО в базисах гауссовских функций 5s2p и 7s3p исследовано электронное строение N₂O₄ (I) и B₂F₄ (II). Рассчитаны равновесная геометрия, энергетич. характеристики, распределения электронной плотности. Барьеры вращения найдены равными для указанных базисов 10,7 и 11,6 ккал/моль для I (стабильнее плоская форма) и 0,1 и 0,3 ккал/моль для II (стабильнее перпендикуляр-

2.1975/10

(+) X

ная форма), что согласуется с имеющимися опытными данными (для II опытные данные свидетельствуют о малости барьера вращения, но четко не установлено, какая из форм предпочтительнее). Показано, что плоская конфигурация Г обусловлена, в основном, большим 1,4-взаимодействием σ -типа между атомами О в этой форме, а малый барьер и предпочтительность перпендикулярной формы для II — малым перекрыванием орбиталей атомов F и несколько большим дестабилизирующим электростатич. отталкиванием в плоской форме.

В. Л. Лебедев

N_2O_4

XIII-3818

1974

B_2F_4

NO_2

kb. diec
pacrem

176437j Electronic structures of dinitrogen tetroxide and diboron tetrafluoride and an analysis of their conformational stabilities. Howell, James M.; Van Wazer, John R. (Brooklyn Coll., City Univ. New York, Brooklyn, N. Y.), *J. Am. Chem. Soc.* 1974, 96(24), 7902-9 (Eng). The electronic wave functions of N_2O_4 and B_2F_4 were detd. in moderately sized ab initio computations. The rotational barriers of both mols. were calcd. and analyzed in terms of lone-pair interactions between nonadjacent O or F atoms, along with lone-pair donation into the central σ bond. Previously suggested alternative electronic configurations, where the NO_2 units are bonded only by π interactions, were considered for the ground state of N_2O_4 but were found to be dissociative and thus of little importance.

C.A. 1974. 81 v26

(+)

Pacher E., M. S., Dö, J (N₂, N₂H₂, ⁽¹⁹⁷⁴⁾

N₂O₄, (HNO)₂, (CH₃NO)₂, HNO, CH₃NO

Beroy G., Martin P., Peeters D, ^{XIII} 2655

J. chim. phys. et phys.-chim. biol, 1974,

71, n^o3, 319-325 (1974) B, 101.

Contribution à l'étude théorique
de la liaison gazole-gazole.

Publier, 1974, 17540

10

(9)

10

1974

N₂ O₄ Семинар по научно-исслед.
работам ИВТОИХ, конгрес N8

и.н.

"Прецидентские сб. ба-
гота, водопровода и иле соору-
жений."

NO_2 ; N_2O_4 (Vi, u.n.) $\text{x} \overline{\text{III}}$ 2629. 1974

Tewault D.E., Andrews L.

Spectrochim. acta, 1974, A30, N₄,
963-975 (anu.)

Laser Raman matrix isolation
studies of nitrogen dioxide. Reso-
nance Raman spectrum of NO_2
and Raman spectrum of N_2O_4 .

Bte Puz, 1974, 9D 444

10

①

N_2O_2 , N_2O_3 , $\underline{N_2O_4(v)}$ 1925
Müsen J., XIII 3110

G. Chem. Soc. Dalton Trans.,
1925, VI, 19-22 (Avr. 1)

The diimide nitrogen oxides. Part
I. Electronic absorptions of the
nitrogen nitride diimides, and compari-
son of observed and calculated
values, 1925, 155106 10 pp ends

ХС5 - 12411

1976

N_2O_4
 N_2O_5

фотоэл.
спектр.

16 Б131. Изучение фотоэлектронных спектров N_2O_4 и N_2O_5 . Ames D. L., Tigray D. W. Photoelectron spectroscopic studies of dinitrogen tetroxide and dinitrogen pentoxide. «Proc. Roy. Soc. London», 1976, A348, № 1653, 175—186 (англ.)

Для изучения фотоэлектронных спектров с возбуждением Не-I молекул N_2O_4 и N_2O_5 , к-рые устойчивы лишь при давлении, заметно превышающем обычное давление в спектрометре, использовано быстрое вытекание газа из сопла, расположенного вблизи ионизирующего объема. Для создания неравновесных условий, необходимых для получения спектров быстрораспадающихся молекул, в случае N_2O_4 применялась ускоренная откачка. Полученные спектры сопоставлены с неэмпирич. расчетами в базисах гауссовых функций и со спектрами продуктов диссоциации. В случае N_2O_5 рассмотрено 5 различных конфигураций; наилучшее соответствие с фотоэлектронными спектрами достигается в предположении плоского строения этой молекулы с углом $ONO \sim 120^\circ$.

В. И. Нефедов

Х. 1976 № 16

(+) X

61112.1289

Ch, Ph, TC

41245

1926

N_2O_4

4-15384

Bass Arnold M. & Ledford Albert E., Jr.
Laufer Allan H. Extinction coefficients
of NO_2 and N_2O_4 . "J. Res. Nat. Bur. Stand.",
1976, A80, N2, 143-166 (авгл.)

0744 РИИ

756

694 709

ВИНИТИ

N_2O_4

Книга Накодич 1976
на основе гипотез.

Тогда же, проф. Неструевко В.Б.

Физико-химический

и методический

важен в астрофизике

развитиях космоса



Мурск, "Наука и техника"
1976, 344 с.

N_2O_4

Х 8-16250

1976

8 Б104. Фотоэлектронный спектр N_2O_4 с возбуждением источником Не-I. Yamazaki Tomoko, Kimura Katsumi. He I photoelectron spectrum of dinitrogen tetroxide (N_2O_4). «Chem. Phys. Lett.», 1976, 43, № 3, 502—505 (англ.)

Изучен фотоэлектронный спектр смеси NO_2 и N_2O_4 . Для увеличения содержания N_2O_4 в смеси эксперимент проводился при -60° . Три полосы с энергиями 12,39, 13—14 и 15,6 эв отнесены к спектру N_2O_4 . Не исключено, что молекула N_2O_4 дает также полосу в районе 11—12 эв. Проведено сравнение с расчетами и лит. данными по фотоэлектронному спектру N_2O_4 .

В. И. Нефедов

Фотоэл.
спектр

Х. 1977. № 8

1976

* 9-16250

N_2O_4

4 дз51. Не I-фотоэлектронный спектр N_2O_4 . Yamazaki Tomoko, Kimura Katsumi. He I photoelectron spectrum of dinitrogen tetroxide (N_2O_4). «Chem Phys. Lett.», 1976, 43, № 3, 502—505 (англ.)

Изучен НеI-фотоэлектронный спектр смеси охлажденных до $-60^{\circ}C$ паров NO_2 и N_2O_4 . Путем вычитания из полученного спектра фотоэлектронного спектра NO_2 получен фотоэлектронный спектр N_2O_4 . Вертикальные потенциалы ионизации N_2O_4 равны (в эВ): 12, 39, 13—14, 15, 6. При помощи результатов теоретич. расчетов энергий МО интерпретирован спектр N_2O_4 . Библ. 21.
Ю. В. Чижов
М.С.

спектр
(5)

Ф. 1977 № 4

N_2O_4

#4 - 18354

1977

17 Б152. Фотоэлектронный спектр N_2O_4 . Frost D. C., McDowell C. A., Westwood N. P. C. The photoelectron spectrum of dinitrogen tetroxide. «J. Electron Spectrosc. and Relat. Phenom.», 1977, 10, № 3, 293—303

Фотоэл.
спектр
(?)

Для получения фотоэлектронного спектра N_2O_4 применялся метод медленного испарения при -40° и быстрой прокачки при температурах $-(30-50)^\circ$. В спектре найдено 8 полос с потенциалами ионизации от 11,4 до 18,6 эв. Интерпретация спектра проведена на основе имеющихся в лит-ре расчетов электронной структуры N_2O_4 . Проведена корреляция с энергиями уровней изоэлектронных молекул B_2F_4 и $(COF)_2$. В. И. Нефедов

д. 1977/117

$(N_2O_4)_2$

N_2O_4

фотоэл.
спектр

*У-18354

1977

9Д461 Фотоэлектронный спектр N_2O_4 . Frost D.C.,
McDowell C. A., Westwood N. P. C. The
photoelectron spectrum of dinitrogen tetroxide «J. Electron Spectrosc. and Relat. Phenom.», 1977, 10, № 3, 293—
303 (англ.)

С помощью специально сконструированной аппаратуры, сочетающей охлаждение газа с быстрой откачкой, получен HeI фотоэлектронный спектр димеров двуокиси азота (N_2O_4). В соответствии с недавними расчетами МО для N_2O_4 в области энергий HeI спектра обнаружены и идентифицированы 8 потенциалов ионизации димера. Результаты обсуждены с привлечением расчетных данных и данных о фотоэлектронных спектрах изоэлектронных с N_2O_4 молекул (B_2F_4 и $(COF)_2$, имеющих в газовой фазе плоскую конфигурацию. Библ. 39.

В. С. Иванов

оп 1977 № 9

(+1) 18



(+1) 4. e

N₂O₄

*4-18354.

1977

86: 163310r The photoelectron spectrum of dinitrogen tetroxide. Frost, D. C.; McDowell, C. A.; Westwood, N. P. C. (Dep. Chem., Univ. British Columbia, Vancouver, B. C.). *J. Electron Spectrosc. Relat. Phenom.* 1977, 10(3), 293-303 (Eng). The photoelectron spectrum of N₂O₄ was obtained by a combination of variable temp. and fast-pumping techniques. Eight ionization potentials were obsd. in the He I energy range. These are in accord with the most recent MO calcns., and the spectrum is discussed by comparison with the calcns., and with the photoelectron spectra of some iselectronic mols. such as B₂F₄ and (COF)₂ both of which are also planar in the gas phase.

*y.
photoel.
crw/esp.*

C.A. 1977. 86 w22

N_2O_4

XIII - 4189

1977

5 Д336. Новая интерпретация фотоэлектронного спектра N_2O_4 . Gan Tiang Hong, Peel Bagrie J., Willett Gary D. Reinterpretation of the photoelectron spectrum of dinitrogen tetroxide. «J. Chem. Soc. Faraday Trans.», 1977, Part 2, 73, № 10, 1459—1463 (англ.)

Исследован HeI-фотоэлектронный спектр смеси NO_2/N_2O_4 . При помощи обработки полученного фотоэлектронного спектра на ЭВМ получен спектр «чистого» N_2O_4 (I). Вертикальные потенциалы ионизации I равны (в эВ): 11,4; 12,4; 13,1; 13,4; 13,6; 15,6; 17,1; 18,2; 18,6; 18,8; 19,8. Спектр I интерпретирован при помощи неэмпирич. расчетов и корреляции с потенциалами ионизации мономера NO_2 . 11 потенциалов ионизации I связаны с удалением электронов из MO типа $6a_g$, $4b_{2g}$, $1a_u$, $1b_{1g}$, $4b_{3u}$, $5b_{1u}$, $1b_{3g}$, $3b_{2g}$, $3b_{3u}$, $1b_{2u}$, $5a_g$.

Ю. В. Чижов

Ф. 1978, N 5

N₂O₄

XII - 4189

1977

8 Б96. Повторная интерпретация фотоэлектронного спектра N₂O₄. Gan Tiang Hong, Peel J. Barrie, Willett Gary D. Reinterpretation of the photoelectron spectrum of dinitrogen tetroxide. «J. Chem. Soc. Faraday Trans.», 1977, Part 2, 73, № 10, 1459—1463 (англ.)

Получен фотоэлектронный спектр (ФЭС) N₂O₄, возбуждаемый источником He-I. Эксперим. данные сопоставляются с результатами выполненных ранее неэмпирич. расчетов в различных базисах и расчетов, проведенных авторами в базисе ОСТ-ЗГФ. Приведены и обсуждены три варианта отнесения полос наблюдаемых в ФЭС. Наиболее вероятным, по мнению авторов, является следующее отнесение: 6a_g — 11,4 эв, 1a_u 13,0 эв, 1b_{1g} 13,4 эв, 4b_{2g} 12,4 эв, 4b_{2u} 13,5 эв, 5b_{1u} 15,6 эв, 1b_{3g} 17,1 эв, 3b_{2g} 18,1 эв, 3b_{3u} 18,6 эв, 1b_{2u} 19,0 эв, 5a_g 19,7 эв. Проведена корреляция МО для NO₂ и N₂O₄.

В. М. Ковба

x, № 1978

1944

N₂O₄

Cust. Ref.
emphysema

89: 119892v Force field study of dinitrogen tetroxide. Ramaswamy, K.; Sridharan, T. (Dep. Phys., Annamalai Univ., Tamilnad, India). *Indian J. Phys.* 1977, 51B(4), 318-28 (Eng). The force field study of dinitrogen tetroxide was carried out using parametric representation method. The parameter angles for the B_{1g} , B_{2u} and B_{3u} species were fixed using isotopic frequency and were $\varphi = 26^\circ 44'$, $\varphi = 16^\circ 39'$ and $\varphi = 59^\circ 46'$ resp. Strey's extremal condition on force consts. was used in addn. to the isotropic frequencies to fix the best fit set of Eulerian angle parameters for the $3 \times 3 A_{1g}$ species. They are $\psi = 48^\circ$, $\theta = 78^\circ 38'$ and $\varphi = 75^\circ 5'$. The force consts., mean amplitudes of vibration, interaction Coriolis coupling const. were calcd.

P.A. 1948, 29, N44

N_2O_4

Smith G. R., et al.

1974

D_i

J. Mol. Spectrosc.
1974, 68 (2), 223-35

(see N₂O₃)

1948

N₂O₄

Gimarc, Benjamin, et al

ay. Am. Chem. Soc. 1948,
100(7), 1996 - 2003 (Eng.)

n^o. mex.
priorit

cat. B2 F4 - II

№ 04

Однотесн 7376

1978

5 Д168. Трехэлектронная связь и исследование методом валентных схем барьера вращения в N_2O_4 . Нагсорт Richard D. Three-electron bonds and a valence-bond study of the rotation barrier for N_2O_4 . «Austral. J. Chem.», 1978, 31, № 8, 1635—1647 (англ.).

Методом валентных схем (ВС) исследовано электронное строение N_2O_4 . Отмечено, что из данных расчетов методом МО следует, что основной вклад в барьер вращения вокруг связи NN вносит перекрывание пар АО атомов O, расположенных в плоской форме в цис-положении и образующих «длинную» связь OO. Метод ВС показывает, что эта связь отсутствует, а основной вклад в стабилизацию плоской формы вносят ионные валентные структуры, содержащие одновременно N^+ и O^- в одной или разных группировках NO_2 ; в первом случае образуется «длинная» связь $N^+ \dots O^-$ между атомами, принадлежащими разным группировкам NO_2 . Для этих структур показано наличие резонанса, эквивалентного трехэлектронной связи OO по Паулингу. Резюме

Александр
Строений



XII - 4021

о. 1979, 15

53 Октябрь 7376 1978

№204

Молекула,
Структура

9 Б. Трехэлектронные связи и изучение методом валентных связей барьера вращения в N_2O_4 . Нагсорт Richard D. Three-electron bonds and a valence-bond study of the rotation barrier for N_2O_4 . «Austral. J. Chem.», 1978, 31, № 8, 1635—1647 (англ.).

В рамках метода валентных схем определены структуры, обусловливающие стабилизацию плоской конформации N_2O_4 . Вычислено, что наибольший энергетический вклад в такую стабилизацию дает резонанс структур I \leftrightarrow II. Отвечающая им структура повышенной валентности (СПВ) включает трехэлектронную связь С=О между цис-атомами, возникающую в результате ре-

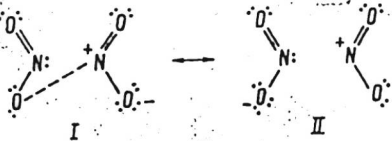
XIII - 6021

быв
эм. г.

XIII - 4206

д. 1949, № 9

резонанса $O^{\cdot}O—O^{\cdot}O$. Структура с двухэлектронной связью между цис-атомами O вносит незначит. вклад в стабилизацию плоской конформации. Более заметный вклад дают структуры со связью между транс-атомами O. В этом случае также возможно построение



СПВ с трехэлектронными связями. Образование более длинной, чем ординариальная, связи N—N в N_2O_4 объяснено тем, что среди типов валентных структур, описывающих эту молекулу, только один имеет связь N—N, в остальных она отсутствует. Резонанс между ними приводит к уменьшению порядка связи, что м. б. также отражено с помощью соотв-щей СПВ.

А. Клягина

SEARCHED 6087

1948

N₂O₄

N₂O₂

N₂O₃

kb. wek.
faeret

88: 126655c Localized molecular orbitals for dinitrogen dioxide, dinitrogen trioxide, and dinitrogen tetroxide. Kishner, S.; Whitehead, M. A.; Gopinathan, M. S. (Chem. Dep., McGill Univ., Montreal, Que.). *J. Am. Chem. Soc.* 1978, 100(5), 1365-71 (Eng). Localized MO, LMO's, are derived from the MO's calcd. by a CNDO method for N₂O₄, N₂O₂, and N₂O₃. The theor. Lewis structures are given. The mols. have σ -type N-N bonds of high p -orbital character, but no π bonds; O lone pair delocalization to both N atoms is antibonding, reducing the strength of the N-N bond. The present results from a semiempirical CNDO method are in good agreement with those from previous ab initio studies using canonical MO's.



C.A., 1948, 22, #10

N₂O₄

*фотоэл.
спектр*

1979
3 Д 186. Интерпретация фотоэлектронного спектра N₂O₄. Von Niessen Wolfgang, Domcke Wolfgang, Cederbaum Lorenz S., Schirmer Jochen. Interpretation of the photoelectron spectrum of N₂O₄. «J. Chem. Soc. Faraday Trans.», 1978, Part 2, 74, № 8, 1550—1558 (англ.)

Методом ф-ций Грина вычислены потенциалы ионизации и интенсивности соответствующих полос в фотоэлектронном спектре N₂O₄ в области 10—51 эв. MO нейтральной молекулы рассчитаны методом ССП с использованием сжатых гауссовых ф-ций N и O. В области 10—15 эв обнаружены 5 интенсивных линий, соответствующих удалению электронов с MO 4a_g, 3b_{2g}, 1a_u (π), 1b_{1g} (π), 3b_u. Этот порядок отличается от предсказанного на основе теоремы Купманса положения MO 3b_{2g}, которая в ССП расчетах имела более низкую энергию, чем MO 1a_u и 1b_{1g}. Отмечено отсутствие сателлитных линий в области спектра ниже 15 эв. В области выше 15 эв обнаружен значительный

Ф. 1979, № 3

перенос интенсивностей на сателлитные линии; в ряде случаев происходит расщепление на несколько линий примерно равной интенсивности, что делает невозможным соотнесение линий в спектре с ионизацией электрона с определенной МО. Плохое разрешение экспериментального спектра N_2O_4 в области 15—21 эв не позволяет провести детальное отнесение линий; в области 10—15 эв наблюдается хорошее согласие расчета с экспериментом. Обсуждаются причины сильных корреляционных эффектов в молекуле N_2O_4 .

О. В. Сизова

ОСТК

И. Н.

N₂O₄

отмечена 7569

1978

*документ
столк*

6 Б137. Интерпретация фотоэлектронного спектра N₂O₄. Niessen Wolfgang, Domcke Wolfgang, Cederbaum Lorenz S., Schirmer Jochen. Interpretation of the photoelectron spectrum of N₂O₄. «J. Chem. Soc. Faraday Trans.», 1978, Part 2, 74, № 8, 1550—1558 (англ.)

Методом ССП в базисе типа двухэкспонентных ОСТ рассчитаны полная энергия и орбитальные энергии молекулы N₂O₄. Порядок и энергия ионизации пяти верхних валентных орбиталей рассмотрены более подробно и сопоставлены с эксперим. данными по фотоэлектронному спектру N₂O₄, возбуждаемому источником Не-I. В рамках метода функций Грина рассчитаны и обсуждены положения и относит. интенсивность полос в спектре ионизации N₂O₄ в области энергии 10—51 эв.

В. М. Ковба

д. 1979, №

N_2O_4

XIII - 4025 1978

4 Д175. Об. отнесении колебаний молекулы N_2O_4 .
Six P., Chauvet G., Tagavel B., Logenzelli V.
On the vibrational assignment of N_2O_4 . «Physica», 1978,
BC95, № 2, 244—250 (англ.).

По эксперим. данным для частот колебаний молекул
 $^{14}N_2O_4$ и $^{15}N_2O_4$ вычислены гармонические силовые по-
стоянныи N_2O_4 . Вычислено также распределение потенц.
энергии колебаний по внутренним колебательным коор-
динатам и дано отнесение частот по форме колебаний.
Для ~~активной~~ ИК частоты $v_8 (B_{2u})$ получено значение
 203 см^{-1} .

М. Р. Алиев

XIII - 4005

Ф. 1979 № 4

N_2O_4

(D₄)

XIII - 4025

1978

90: 31327z On the vibrational assignment of nitrogen tetroxide. Six, P.; Chauvet, G.; Taravel, B.; Lorenzelli, V. (Lab. Biol. Math., UER Sci. Med. Pharm., Angers, Fr.). *Physica B+C (Amsterdam)* 1978, 95(2), 244-50 (Eng). A preliminary method of frequency assignment is applied to the ¹⁴N₂O₄ and ¹⁵N₂O₄ mols. in order to obtain a new assignment of the exptl. frequencies. The results are similar to those already published but the assignment of $v_1(A_g)$ and $v_2(A_g)$ was reversed; an IR active vibration $v_8(B_{2u})$ at 203 cm⁻¹ may exist which has not yet been measured.

XIII - 4025

C.A. 1979, 90, N4

N₂O₄

XII - 4025

19.48

7 Б189. Об отнесении частот колебаний N₂O₄.
 Six P., Chauvet G., Tagavel B., Lorenzel I. V. On the vibrational assignment of N₂O₄. «Physica», 1978, BC95, № 2, 244—250 (англ.)

(v₁)

С использованием имеющихся в лит-ре данных по ИК- и КР-спектрам ¹⁴N₂O₄ и ¹⁵N₂O₄ проведен расчет силового поля этой молекулы отдельно для типов симметрии A_g, B_{1g}, B_{2u} и B_{3u}. Из полученных наборов силовых постоянных выбран один, согласующийся с теор. соотношениями между силовыми постоянными из блоков различных типов симметрии. Найдено, что эти соотношения выполняются только в том случае, если предположить наличие у N₂O₄ ИК-активной частоты ν₈(B_{2u}) = 203,6 см⁻¹. На основании выполненного расчета нормальных амплитуд колебаний переотнесены частоты ν₁ и ν₂(A_g).
 Л. В. Серебренников



XII - 4025

20.1979, N4

N_2O_4

Omnibus 8327

1979

ICB-week-
jaarboek

E

Castro E.A.

Int. J. Quant. Chem.,
1979, 15, 355-358

$^{14}\text{NO}_2 - ^{15}\text{NO}_2$ measured 4754 1979

Chellam P. E., et al
halos

curves. Z. phys. Chem. Leipzig

1979, 260, 77-80.

NO₂
N₂O₄

24 Б16. Элементарное описание методом молекулярных орбиталей димеризации NO₂ в N₂O₄. Нагсоул R. D. An elementary molecular orbital description of NO₂ dimerization to N₂O₄. «Austral. J. Chem.», 1979, 32, № 5, 933—948 (англ.)

12
13

В рамках предложенного ранее авторами подхода («Int. J. Quantum. Chem.», 1970, 4, 173) построена волновая функция для системы N₂O₄ (I) описывающая процесс димеризации 2 NO₂ (II) → I. Рассматривалось лишь 10 валентных электронов I, необходимых для описания образования связи NN в рамках метода валентных схем. Волновая функция строилась методом конфигурац. взаимодействия MO фрагментов II. Последние рассчитывались с использованием основных приближений метода ЧПДП. Параметры расчета калибровались по двум первым орбитальным потенциалам ионизации I и II. Основной вклад в волновую функцию I вносит конфигурация, отвечающая спариванию электронов однократно занятых MO I. Вклад ионных NO₂⁺NO₂⁻ и возбужденных структур невелик. Конфигурац. взаимодействие стабилизирует основное синглетное состояние по сравнению с низколежащими триплетами.

Б. Фаустов

Однократные орбиты

(+)

Х-1959, 124

Октябрь 7597 1979

№ 04

(y)

15 Б21. Конфигурационное взаимодействие и новая интерпретация второго потенциала ионизации N_2O_4 . Nagcourt Richard D. Configuration interaction and a new assignment for the second ionization potential of dinitrogen tetroxide. «Chem. Phys. Lett.», 1979, 61, № 1, 25—29 (англ.)

Вычислены энергии ионизации молекулы N_2O_4 с учетом смешивания двух конфигураций..... $6a_g^2 6b_{1u}^0$ и $6a_g^0 6b_{1u}^2$. Расчеты проведены в рамках приближения нулевого дифференциального перекрывания и явным образом рассмотрены только электроны, характеризующие σ -связь N—N. Параметризация проведена т. обр., чтобы воспроизвести эксперим. потенциалы ионизации уровней a_1 и b_2 молекулы NO_2 и полученную в неэмпирич. расчетах плотность неспаренного электрона ($\sim 0.5 e$) на атоме азота в NO_2 . Найдено, что учет конфигурац. взаимодействия позволяет отнести 2-й потенциал ионизации N_2O_4 при 12,4 эв к переходу ${}^1A_g \rightarrow {}^2B_{1u}$, в отличие от пред. расчетов в одноконфигурац. приближении, связывавших этот пик в фотоэлектронном спектре с ионизацией $1a_u$ или $4b_{3g}$ -уровня.

М. М. Гофман

2.1979; N/5

N_2D_4

ommited 7668

1979

Morton Y.L; et al.

script FNP

in language

SF_6

J. Phys. Chem.

1979, 83 (4),
533-36

Нады

отмечи 8080

1979

18 Б126. Фотоэлектронный спектр N_2O_4 с возбуждением He-II (304 Å). Nomoto Katsumi, Achib'a Yohji, Kimura Katsumi. HeII (304 Å) photo-electron spectrum of N_2O_4 . «Chem. Phys. Lett.», 1979, 63, № 2, 277—280 (англ.)

Измерены фотоэлектронные спектры с возбуждением He-I и He-II NO_2 и смеси NO_2 с N_2O_4 . С помощью

фотоэл.
спектр.

Пер
дл.

Х. 1979/18

известных интенсивностей N_2 , O_2 , CO_2 проведена коррекция интенсивностей пиков на эффективность приемника электронов. Спектры N_2O_4 получены вычитанием спектров NO_2 из спектров смеси. В спектре с возбуждением He-II найдено три новых максимума при энергиях 13,7; 22,5 и 25,9 эв. Получены относит. интенсивности для первых пяти максимумов с энергиями ионизации < 16 эв и обсуждена интерпретация этих максимумов. На основе сопоставления относит. интенсивностей в спектрах с возбуждением He-I и He-II сделано предположение о том, что максимум при энергии 13,5 эв получается в результате наложения двух пиков. Проведено сопоставление со спектрами (He-I) др. авторов и с результатами неэмпирич. расчетов и обсуждена возможная интерпретация спектра. Широкие малоинтенсивные максимумы при энергиях 22,5 и 25,9 эв согласуются с результатами расчетов методом ф-ций Грина, предсказывающими распределение интенсивности между группой линий вследствие корреляц. эффектов в конечном состоянии.

М. М. Гофман

1979

№ 204

Фотоэлек.
Система

24 Бі34. Исследование фотоэлектронных спектров N_2O_4 возбуждаемых источниками Не-I и Не-II. Moto Katsuog i, Achiba Yohji, Kimura Katsumi. HeI and HeII photoelectron study of N_2O_4 . «Bull. Chem. Soc. Jap.», 1979, 52, № 6, 1614—1618 (англ.)

Получены и интерпретированы ФЭС N_2O_4 , возбуждаемые источниками Не-I и Не-II. Отдельно измерялись ФЭС смеси NO_2 — N_2O_4 , вводимой в ионизац. камеру через узкоколлимированное сопло, а также NO_2 , вводимой с помощью стандартной системы напуска. Затем из спектра смеси вычитался спектр NO_2 . Отмечение полос в спектре N_2O_4 основано на результатах неэмпирич. расчетов энергий фотоионизации, выполненных с применением многочастичных функций Грина. Значения вертикальных потенциалов ионизации (в эв) и предв. отнесение: $11,4 - (6a_g)^{-1}$, $12,39 - (4b_{2g})^{-1}$, $13,0 - (1a_u)^{-1}$.

2.1979.024

$13,5 - (1b_{1g})^{-1}$, $(4b_{3u})^{-1}$, $15,6 - (5b'_{1u})^{-1}$, $16,5 - (1b_{3g})^{-1}$,
 $17,2 - (3b_{2g})^{-1}$, $18,2 - (3b_{3u})^{-1}$, $18,6 - (1b_{2u})^{-1}$, $19,5 -$
 $(5a_g)^{-1}$, $20,7 - (4b_{1u})^{-1}$, $22,5 - (4a_g)^{-1}$, $25,9$. Полосы
20,7, 22,5, 25,9 эв наблюдались впервые (последняя
предположительно является наложением многих сател-
литных линий). Аналогичным образом объясняется об-
щее поднятие фона ФЭС, возбуждаемого Не-II в об-
ласти выше 17 эв. Подробно обсуждено отнесение полос
в области ниже 20 эв. Полученные данные сопоставле-
ны с результатами прежних исследований N_2O_4 (Не-I).

В. М. Ковба

NaO_4^-

ommited 7714 1979

$[\text{NaO}_4]^{3-}$

Simmons M.C.R.

(NaNO_3)
 KNO_3
 NaNO_2)

J. Chem. Soc. Dalton
Trans. 1979, n3,
423 - 26.

1980

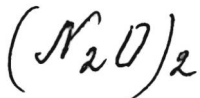
N_2O_4
(крист.)

94: 92881e Raman and infrared spectra of solid dimeric nitrogen dioxide. Andrews, B.; Anderson, A. (Dep. Phys., Univ. Waterloo, Waterloo, ON Can. N2L 3G1). *C. R. - Conf. Int. Spectrosc. Raman*, 7th 1980, 108-9 (Eng). Edited by Murphy, W. F. NRCC: Ottawa, Can. The Raman and IR spectra of solid N_2O_4 were measured at 85 and 20 K. The results are in agreement with those predicted by group theory from the known mol. geometry and crystal structure.

ρ_{ij} U_{ikj}
CKP.

C.A.1987.24.112

1980



4 Д78. Колебательная предиссоциация ван-дер-ваальсовских молекул $(N_2O)_2$. Vibrational predissociation of the van der Waals molecule $(N_2O)_2$. Mogales Daniel A., Ewing George E. «Chem. Phys.», 1980, 53, № 1—2, 141—147 (англ.)

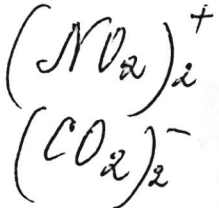
Теоретически изучается предиссоциация колебательно-возбужденных молекул-димеров $N_2O(001) — N_2O(000)$.

расчет
предисс.

Для расчета времени предиссоциации таких молекул использована модель Ивинга (Ewing G. «J. Chem. Phys.», 1980, 72, 2096), причем анализируется возможность предиссоциации по двум каналам: распад на две невозбужденные молекулы $N_2O(000)$ или же распад на $N_2O(000)$ и $N_2O(100)$. Для получения количественные оценки в качестве межмолекулярного потенциала использован потенциал Морзе. Найдено, что 2-й канал распада является более эффективным и обеспечивает распад за время $\sim 10^{-5}$ сек.

Б. Ф. Гордиц

Ф. 1981 № 4



Однотипич 9603

1980

18 Б31. Неэмпирическое исследование $(NO_2)_2^+$ и $(CO_2)_2^-$. Yoshioka Y., Jordan K. D. Ab-initio study of $(NO_2)_2^+$ and $(CO_2)_2^-$. «J. Amer. Chem. Soc.», 1980, 102, № 8, 2621—2626 (англ.)

Методом ССП МО ЛКАО в ограниченном и неограниченном вариантах с использованием базиса 6—31 ГФ рассчитано электронное строение иона $(NO_2)_2^+$ в 3-х геометрич. конфигурациях: плоской симметричной D_{2h} , ступенчатой симметричной D_{2d} и несимметричной (C_s)

Кб.ссх.
расчет

(+) 



XIII - 5612

Х 1980 N 18

конфигурации комплекса ион-молекула. Полученные результаты сопоставлены с данными аналогичных, ранее проведенных расчетов иона $(CO_2)_2^-$. В случае $(CO_2)_2^-$ все три структуры (D_{2d} , D_{2h} и C_s) являются стабильными по отношению к диссоциации $CO_2 + CO_2^-$. Для $(NO_2)_2^+$ только C_s -структура является стабильной; D_{2h} - и D_{2d} -структуры нестабильны по отношению к диссоциации на $NO_2^+ + NO_2$. Анализ потенц. поверхности показал, что D_{2h} -структура $(NO_2)_2^+$ имеет барьер как для диссоциации, так и для перестройки в C_s -структуре иона. C_s -форма $(NO_2)_2^+$ на 1,56 эв более стабильна, чем D_{2h} -форма. Ион-молек. комплекс $(CO_2)_2^-$ на 0,31 эв более стабилен, чем симм. структура с наименьшей энергией. Связи в $CO_2^- \cdot CO_2$ и $NO_2^+ \cdot NO_2$ интерпретированы в терминах электростатич. взаимодействий между ионным и нейтр. мономерами. Вычисленные значения вертикального и адабатич. потенциала ионизации $(NO_2)_2$ составили 11,79 и 10,65 эв, соотв. (эксперим. значения 11,4 и 9,1 эв). И. А. Тополь

N₂O₄ [Comma 11410]

1981.

(Krusz.) Andrews B; et al.

Patent #

U.S. Patent
J. Chem. Phys., 1981, 74
Received (b), 1534-37.

(ii)

N_2O_4

1981

ICL. Mex.

pacemus

respiratus,

Uo

Clark Timothy
et al.

Z. Comput. Chem.,
1981, 2, N1, 20-29

(ccu. B_2F_4 ; II)

1981

 N_2O_4 Фотоэл.
спектр

10 Д106. Конфигурационное взаимодействие, потенциалы ионизации и вклады различных валентных структур в барьер вращения четырехокиси азота. Configuration interaction, ionization potentials and valence-bond aspects of the rotation barrier for dinitrogen tetroxide. Нагсорт Ричард Д. «Austral. J. Chem.», 1981, № 2, 231—245 (англ.)

На основании литературных данных исследования фотоэлектронного спектра N_2O_4 (I) эмпирически оцена величина резонансного интеграла между атомами О, находящимися в цис-положении друг к другу. Методом ССП с частичным учетом конфигурационного взаимодействия рассчитаны плоская и склоненная конформации I, что привело к барьеру вращения 7,2 кДж/моль (эксперим. значения 8,4—12,6). Представлены выражения для барьера в виде суммы вкладов от перекрывания атомов О, находящихся в цис-положении друг к другу, кулоновского и обменного вкладов и показано, что первый является наибольшим по величине. Полученная волнистая функция проанализирована с помощью различных валентных структур, на основании чего детально обсуждена природа барьера вращения в I.

φ. 10. 1981

1981

N₂O₄

94: 163062b Configuration interaction, ionization potentials and valence-bond aspects of the rotation barrier for dinitrogen tetroxide. Harcourt, Richard D. (Dep. Phys. Chem., Univ. Melbourne, Parkville, 3052 Australia). *Aust. J. Chem.* 1981, 34(2), 231-45 (Eng). For N₂O₄, the ionization potentials and the cis O-O core resonance integral were calcd., and were used in SCF-CI calclns. to obtain a rotational barrier of $E = 7.2 \text{ kJ/mol}$ when the N-N σ -bond order (P) is 0.525 for the planar configuration. The CI expression for E was expressed as a sum of cis O-O overlap (β), Coulomb, and exchange terms, of which the β term is the largest. The sensitivity of the magnitude of E to variation of the P value was shown. A VB anal. of the CI wave function confirmed that resonance between covalent (NO₂NO₂) and ionic (NO₂⁺NO₂⁻ and NO₂⁻NO₂⁺) structures provides the VB explanation for the origin of the β contribution to E . Resonance between covalent and ionic structures provides a contribution to the β stabilization of the planar conformation.

*Rb, vlex,
facter,
(y)**C.A. 1981 94 1120*

1981

№ 04

19 Б63. Конфигурационное взаимодействие, потенциалы ионизации и аспекты метода валентных схем при анализе барьера вращения в димере двуокиси азота.
 Harcourt Richard D. Configuration interaction, ionization potentials and valence-bond aspects of the rotation barrier for dinitrogen tetroxide. «Austral. J. Chem.», 1981, № 2, 231—245 (англ.)

Методами ССП МО ЛКАО КВ и валентных схем с использованием значений молек. интегралов, оцененных эмпирически из данных по Пт ионизации, найденных при анализе ранее изученных фотоэлектронных спектров, получены приближенные выражения для барьера вращения вокруг связи N—N в молекуле N_2O_4 . Рассчитанная величина барьера между плоской и склоненной (90°) конформациями N_2O_4 составила 7,2 кДж/моль, при σ -порядке связи N—N 0,525. Отмечена чувствительность величины барьера к вариациям σ -порядка связи N—N. Показано, что наибольший вклад в величину барьера вносит резонансный интеграл ядерного отталкивания цис-расположенных атомов кислорода (цис-O—O). Из

Кб, мк,
расчет
но, 7;

Х. 1981, № 19

анализа волновых ф-ций КВ по методу валентных схем
сделан вывод, что природа вклада перекрывания
цис-О—О в величину барьера вращения связана с резо-
нансом между ковалентными (NO_2NO_2) и ионными
($\text{NO}_2^+\text{NO}_2^-$ и $\text{NO}_2^-\text{NO}_2^+$) структурами, благоприятст-
вующим плоской конформации. А. Н. Курский

еже
ча I

$(N_2O)_2$

1981

Linn S.H., et al.

Хироши
Морида-
мыу

J. Chem. Phys., 1981,
75, N 10, 4921-4926.

1 cm. $(CO_2)_2$; III)

N₂O₄

Officer 13294

1982

| 96: 112561x Raman spectroscopy on matrix-isolated nitric
oxide(1+) ion, nitrate ion and dimeric nitrogen dioxide in
neon. Bolduan, F.; Jodl, H. J. (Fachber. Phys., Univ.
Kaiserslautern, Kaiserslautern, Fed. Rep. Ger.). *Chem. Phys.*
Lett. 1982, 85(3), 283-6 (Eng). In the Raman spectra of N₂O₄
isolated in Ne at 9 K most lines can be assigned to different
configurations of N₂O₄ but the most intense line is caused by
NO⁺ ions of the species NO⁺NO₃⁻. The results are explainable
by a special aggregation of NO₂ mols. during condensation,
followed by trapping of the dimer at adjacent vacancies.

CKP

C.A. 1982, 96, N¹⁴.

N₂O₄

1982

2 Д610. Сателлиты «встряхивания» в HeI-фотоэлектронных спектрах N₂O₄ и CH₃NO. Shake-up satellites in HeI photoelectron spectra: N₂O₄ and CH₃NO. Chong D. P., Frost D. C., Lau W. M., McDowell C. A. «Chem. Phys. Lett.», 1982, 90, № 5, 332—336 (англ.)

Получены HeI-фотоэлектронные спектры N₂O₄ (I) и CH₃NO (II). Вертикальные потенциалы ионизации (ПИ) I, II равны (в эВ): I — 11,4; 12,35; 13,04; 13,47; 15,6; 17,0; 18,65; II — 9,68; 13,8; 14,3; 15,8; 16,9. При помощи полуэмпирических расчетов ВАМ/З проведена интерпретация спектров I, II. Установлено, что полосы в спектре I с ПИ 15—17 эВ являются сателлитами «встряхивания» типа $(6a_g \rightarrow 6b_{1u})^* 6a_g^-$ и $(1b_{1g} \rightarrow 2b_{2u})^* 1a_u^-$. В спектре II полосы с ПИ 15,8, 16,9 эВ соответствуют сателлитам «встряхивания» типа $(2a'' \rightarrow 3a'')^* (10a^1)^{-1}$ и $(1a'' \rightarrow 3a'')^* (10a^1)^{-1}$. Последнее означает, что в акте фотоионизации одновременно удаляется электрон с MO 10a' и электрон с MO 1a'' пере-

90. 1983, 18, № 2

ходит на МО $3a''$. Авторы предполагают, что для многих молекул с низколежащими вакантными МО процессы «встряхивания» электронов на возбужденные МО могут проявляться в HeI-фотоэлектронных спектрах.
Библ. 44.

Ю. В. Чижов



N₂O₄

1982

24 Б129. Сателлиты монопольного возбуждения в фотоэлектронных спектрах с возбуждением HeI: N₂O₄ и CH₃NO. Chong D. P., Frost D. C., Lau W. M., McDowell C. A. Shake-up satellites in HeI photo-electron spectra: N₂O₄ and CH₃NO. «Chem. Phys. Lett.», 1982, 90, № 5, 332—336 (англ.)

Измерены фотоэлектронные спектры (ФЭС) (источник возбуждения — Не-I) молекул N₂O₄ и CH₃NO. Полуэмпирическим методом ВАМ/З в расширенном варианте с учетом поправок к теореме Купменса в рамках теории возмущений Рэлея — Шредингера рассчитаны спектры вертикальных энергий ионизации и сателлитов монопольного возбуждения в ФЭС исследованных молекул. Результаты расчета ФЭС N₂O₄ хорошо согласуются с данными аналогичных расчетов ФЭС в рамках многочастичного метода функций Грина и указывают как на нарушения теоремы Купменса, так и одиноччастичной картины ионизации в области энергий

907C

41/8

X. 1982, 19, N24.

связи ФЭС меньших, чем 21 эВ. К таким же выводам приводит и теор. анализ ФЭС CH_3NO , где малоинтенсивная полоса с энергией связи 15,8 эВ отнесена к сателлиту монопольного возбуждения. Сделано общее заключение, что в молекулах с низколежащими виртуальными МО ионизация валентных МО может приводить не только к нарушению теоремы Купменса, но и к существенному увеличению интенсивности ряда структур ФЭС, обусловленных процессами монопольного возбуждения электронов.

И. А. Тополь

an.
ande

$(NO)_2$

1982

197: 98722n The structure of the nitric oxide dimer. Kukolich, Stephen G. (Noyes Chem. Lab., Univ. Illinois, Urbana, IL 61801 USA). *J. Am. Chem. Soc.* 1982, 104(17), 4715-16 (Engl). The structure of the NO dimer in the gas phase was detd. from measurements of rotational transition frequencies for ^{14}NO - ^{14}NO , ^{15}NO - ^{15}NO and ^{14}NO - ^{15}NO . Microwave transition frequencies were measured using the Flygare-Balle spectrometer. The measurement of rotational transition frequencies for different isotopic combinations allowed an unambiguous detn. of the NNO angle (θ) of $99.6(4)^\circ$. The N-N bond length is $2.237(2)\text{\AA}$ and NO bond length is $1.161(6)\text{\AA}$. This is the structure for the $v=0$ vibrational state.

Copy by
J. F. Clegg

C.A. 1982, 97, N/2

N₂O₄(z)

1982

20 Б38. Строение молекул тетроксида диазота N₂O₄. Нейтронографическое исследование при 100, 60 и 20 К и неэмпирический теоретический расчет. Kvick A., McMullan R. K., Newton M. D. The structure of dinitrogen tetroxide N₂O₄: Neutron diffraction study at 100, 60, and 20 K and ab initio theoretical calculations. «J. Chem. Phys.», 1982, 76, № 7, 3754—3761 (англ.)

*Кристал.
Структура,
расчет
геометрии,
структуры*

X. 1982, 19, N 20

Выполнено нейтронографич. исследование монокристалла кубич. тетроксида диазота, N₂O₄ (простр. группа *Im 3, Z=6*), к-рый был выращен из паров NO₂ при прецизионном криостатич. контроле. Параметр решетки, измеренный при 7 различных т-рах, изменялся от 7,6937 (6) Å при 20 К до 7,7925 (6) Å при 140 К. Положения ядер и тепловые факторы уточнены с использованием дифракц. данных ($\sin \theta/\lambda \leq 0,79$ Å), полученных при 100, 60 и 20 К. Окончательные значения *R*-фактора составили соотв. 0,037; 0,034 и 0,028. Эксперим. значения длины связи N—N и валентного угла ONO не изменились в интервале между 20 и 100 К и составили 1,7562 (± 4) Å и 134,46 (± 6)° с индивидуальн. погрешностями 0,001 Å и 0,1°. Длина связи N—

О в интервале т-р 100—20° К растет линейно от 1,1855 (9) до 1,1893 (5), что соответствует экстраполированному значению при нулевой т-ре, равному 1,191 А. Обобщенным методом валентных связей (ВС) с использованием двухконфигурац. волновой ф-ции в базисе 4-31 ГФ выполнен неэмпирич. расчет молекулы N_2O_4 . Найдено, что по сравнению с одноконфигурац. расчетом ССП в этом же базисе равновесное расстояние N—N возрастает от 1,63 до 1,80 А. Включение поляризац. ф-ций дает $R(N—N)=1,74$ А. С. Долин

(ONNO)₂ On. 15281 1982

97: 226100x Contribution to the theoretical study of the oxygen-nitrogen-nitrogen-oxygen (ONNO) dimer. Sana, Michel; Leroy, Georges (Lab. Chim. Quantique, Univ. Cathol. Louvain, 1348 Louvain-la-Neuve, Belg.). *Bull. Soc. Chim. Belg.* 1982, 91(8), 663-75 (Eng). A study was made of the geometry, the vibrational properties including the IR-absorptions and the thermodynamical properties of the NO radical dimers contg. a central NN bond. An ab initio-SCF potential energy surface is built up at the 6-31G level. There are 2 equil. structures: the most stable having a trans conformation. The cis form is less stable with respect to the 1st by 2 kcal mol⁻¹. Two transition structures sep. the min. energy points: the 1st resp. low in energy corresponds to a perpendicular arrangement and the 2nd higher in energy has a linear structure. The predicted IR spectra, as well as the heat of formation of the dimers, are somewhat different from the exptl. data. The exact nature of the exptl. obsd. dimer remains an open question.

neopen
pacem

c.a. 1982, 97, N26

NaD₄

Lm. 17609

1983

(19)

Parker M., Herman M.,
et al.,

Bull. Soc. Chem. Belg.,
1983, 92, N^o 7, 585-6.

N₂O₄

1983

14 Б23. Связь N—N в димере двуокиси азота.
N—N bond in dinitrogen tetroxide. Bauschlicher
Charles W., Komornicki Andrew, Roos
Bjorn. «J. Amer. Chem. Soc.», 1983, 105, № 4, 745—
748 (англ.)

Многоконфигурационным методом ССП (МК ССП)
рассчитаны равновесные геометрич. параметры и энергия
образования молекулы N₂O₄. Использован двухэкспонентный
базис Хузинаги—Данинга, дополненный
поляризац. 3d-функциями. Предварительные расчеты
выполнены с валентно-расщепленными базисами. Волновые
функции построены по правилам приближения

*расчет
хомопр.,
структурн,
Е, И.П.*

ле

X. 1983, 19, N 14.

ССП в полном конфигурац. пространстве активных орбиталей. При этом учтена как пространственная и спиновая симметрия волновой функции, так и определенное отнесение электронов к МО σ - и π -типа. В рамках того же приближения рассмотрена молекула мономера NO_2 . Отмечено, что для NO_2 заметными являются 5 электронных конфигураций, отвечающих как ионным (2), так и ковалентным (3) структурам. Образование димера является результатом слабого взаимодействия двух групп NO_2 (энергия диссоциации на мономеры 7 ккал/моль). При этом только одна из ковалентных и обе ионные конфигурации могут приводить к образованию связи $\text{N}-\text{N}$ σ -типа. Особое внимание уделено определению равновесного межъядерного расстояния $\text{N}-\text{N}$, для к-рого прежние теор. и эксперим. результаты были противоречивыми. Найдено, что согласующееся с эксперим. данными относительно большое для азотных соединений межъядерное расстояние $\text{N}-\text{N}$ 1,78 Å получается только в приближении МК ССП, в к-ром учтены основные корреляц. эффекты. А. В. Немухин

$(NO_2)_2$

Om. 16395

1983

meopen
pacem

98: 78486f nitrogen-nitrogen bond in dinitrogen tetroxide.
Bauschlicher, Charles W., Jr.; Komornicki, Andrew; Roos, Bjorn
(Polyat. Res. Inst., Mountain View, CA 94043 USA). *J. Am. Chem.
Soc.*, 1983, 105(4), 745-8 (Eng). A series of complete active space
(CAS) SCF calens. were made on the NO_2 dimer employing a
double- ζ plus polarization quality basis set. Most extensive CAS-SCF
calens. which include 18 electrons correlated in 12 valence orbitals
not only reproduce the known exptl. geometry but also show that a
proper description for N_2O_4 is assoed. with a correct description of
the individual NO_2 fragments.

C. A. 1983, 98, N10.

NaO

[Om. 17626.]

1983

ромононен
секунд
бескисло
ноградиц
 $B(27j)$
COCN.

Civitas T., Klasinc h.;
et al.,

J. Chem. Phys., 1983,
79, NY, 1565-68.

$(NO)_2$

1983

} 21 Б341. Исследования структуры и квадрупольного взаимодействия для димера NO. Structure and quadrupole coupling measurements on the NO dimer. Kukolich Stephen G. «J. Mol. Spectrosc.», 1983, 98, № 1, 80—86 (англ.)

Измерены частоты вращательных переходов в МВ спектрах димеров $^{14}\text{NO} = ^{14}\text{NO}$, $^{14}\text{NO} = ^{15}\text{NO}$, $^{15}\text{NO} = ^{15}\text{NO}$. Отмечено, что вращательные константы для димеров с различными изотопными комбинациями позволяют однозначно определить структуру димера. Сделано заключение, что исследуемый димер имеет цис-планарную конфигурацию со связанными между собой атомами N. Угол NNO определен равным 99,6 (2)°. Длина связи N—N равна 2,236 (1) Å и длина связи N—O равна 1,161 (4) Å. В спектре димера наблюдалась СТС, обусловленная квадрупольным взаимодействием.

几何
структура,
и.п;

X.1983, 19, № 21

вием N и спин-вращательным взаимодействием. Определены вращательные константы и компоненты тензоров квадрупольного и спин-вращательного взаимодействий.

Из резюме

$(NO)_2$

[Om. 17538].

1983

Ritchie G.P.,

geom. esp.
param.
curv.
nocturnal.

J. Phys. Chem., 1983,
87, N14, 2466-2468

Nal

(Om. 20 028)
On 20 107

1984

Dwivedi C. P. D.,

Academy,

Chennai 600034,

of, 19

meopem.

process.

Pramana J. Phys.,

1984, 23, N4, 529 -

- 539.

Nelly

LOM: 20299

1984

Harcourt R. D., Smith B.

J., et al.

Farber
Spausch,
Pacetti

Austral J. Chem., 1984,
37, N^o 7, 1553 - 1561.

$(\text{NaO})_2$

UM 18889

1984

Miller R. E., Watts R.C.

браво!!! Chem. Phys. Lett.,
состройкм. 1984, 105, N4, 409 -
- 413.

(NO)₂

(ν₄)

1985

)) 5 Б4491. Фото-предиссоциация димера NO в основном состоянии. Распределение фрагментов по энергиям. Photo predissociation of NO dimer in the ground state energy distribution of the fragments. Brechig-pas Ph., Halberstadt N. «X Int. Symp. Mol. Beams, Cannes, June 3—7, 1985». S. I., [1985], VI—I1 (англ.)

При разрешении 0,3 см⁻¹ зарегистрирован спектр ИК-поглощения в фундаментальной полосе ν₄ димера (NO)₂ в газовой кювете с NO при т-ре 110 К. На основе анализа контура колебат. полосы и сравнения с моделированным спектром определены точные величины вращат. констант в состоянии ν₄, к-рые показывают ослабление вандерваальсовой связи при колебат. возбуждении NO в димере. Измерения фотопоглощения на различных линиях лазера на изотопно-модифициированном CO указывают на неразрешенную вращат. тонкую структуру. Найдено, что время перераспределения колебат. энергии в димере не меньше 50—100 пс. Изучали также ИК-фото-предиссоциацию (NO)₂ в молек. пучке под действием лазерного излучения при болометрич, детектировании ослабления пучка. Верхний предел времени диссоциации димера равен 1 мс. Методом инду-

X.1988, 19, N5

цированной лазером Фл изучено распределение фотофрагментов NO по уровням внутр. энергии.

В. Е. Скурат

ции
ocial
С

1985

(NO)₂

(V₄)

103: 131511k Infrared absorption and predissociation of nitric oxide dimer. Brechignac, P.; De Benedictis, S.; Halberstadt, N.; Whitaker, B. J.; Avrillier, S. (Lab. Photophys. Mol., CNRS, 91405 Orsay, Fr.). *J. Chem. Phys.* 1985, 83(5), 2064-9. (Eng). The IR absorption spectrum of the ν_4 fundamental band of (NO)₂ was recorded at 0.3 cm⁻¹ resoln. in a cell cooled down to 110 K. From the band contour anal. and comparison with a simulated spectrum, accurate values of the rotational consts. in the ν_4 state were derived, showing a redn. of the van der Waals bond on vibrational excitation. Absorption measurements performed using the various lines emitted by an isotopic CO laser suggest an unresolved rotational fine structure. A lower limit of the time for energy redistribution of 50 to 100 ps is proposed. Also, IR photopredissocn. of (NO)₂ was directly obsd. in a crossed laser-mol. beam ext. using bolometric detection of the beam attenuation. An upper limit of the dissocn. lifetime was 10⁻³ s.

C.A. 1985, 103, n16.

№ 284

(от 22.2.00)

1985

Шамохин С. А., Грибов И. А.

Угл.,

авторские
оригиналы.
рассыпьем.
геометрии

жн. структур. геометрии,
1985, 26, № 4, 42-47.

cure - N_2O_4

1986

/ 106: 146280v Supersonic free jet infrared absorption spectroscopy of sym-dinitrogen tetroxide. Matsumoto, Yoshiyasu; Takami, Michio (Inst. Phys. Chem. Res., Wako, Japan). *Reza Kagaku Kenkyu* 1986, 8, 8-10 (Japan). The IR absorption spectrum of sym- N_2O_4 at $\sim 750 \text{ cm}^{-1}$ was measured in a supersonic free jet with a frequency tunable diode laser. The spectrum consisted of 2 distinguished bands sep'd. by $\sim 8 \text{ cm}^{-1}$. The origin of the bands is discussed, and the preliminary anal. was accomplished.

(lk crewp)

C.A. 1987, 106, N18

N_2D_4

1987

107: 86237v Molecular constants of dinitrogen tetroxide. Karunnidhi, N.; Nangai, R. Thamarai (Dep. Phys., Presidency Coll., Madras, 600 005 India). *Indian J. Phys., B* 1987, 61B(1), 65-70 (Eng). The independent force fields of $^{14}N_2O_4$ and $^{15}N_2O_4$ were investigated on the basis of the method of kinetic consts. Mean amplitudes of vibration of the bonded and non-bonded atom pairs were evaluated and compared with the electron diffraction values reported in the literature. The N-N stretching force const. is ≥ 0.96 md/ \AA , implying a weak N-N bond. Almost all the stretching and bending force consts. remain practically invariant under isotopic substitution.

Chul. NO CM.,
Di;

c.A. 1987, 10^y, N 10

N₂O₄

1988

2 Б1123. Качественная теория валентной связи: происхождение некоторых вариаций длин связей. Qualitative valence bond theory: speculations concerning the origin of some bond-length variations / Harcourt R. D. // J. Mol. Struct. Theochem. — 1988. — 169. — С. 193—209.— Англ.

В рамках качеств. теории валентных связей (ВС) изучены вариации длин связей N—N, S—S и C—C в $\checkmark N_2O_4$, $\checkmark S_2O_4^{2-}$, $\checkmark C_2O_4^{2-}$, $\checkmark S_2O_5^{2-}$, $\checkmark S_2O_6^{2-}$, $PhSO_2-SO_2Ph$ и $\checkmark S_2O_2$. Отмечена важная роль делокализации электронов неподеленных пар атомов O и связанных с этим структур с длинными связями и повышенной валентностью. Представления о природе связи в соединениях S(6+), основанные на данных качеств. подхода метода ВС, не подтверждаются в расчетах методом ССП и для решения этой проблемы следует провести колич. исследования методом ВС. На основании расчетов методом ССП с учетом конфигурац. взаимодействия проанализированы фотоэлектронные спектры N_2O_2 и сделаны эмпирич. оценки весов структур с повышенной валентностью.

В. И. Фаустов

(+6)

X. 1989, № 2

NaO_4^+

lom:30490

1988

Jacob M.E.,

Ti, Di; J. Phys. and Chem. Ref.
Data, 1988, 17, N2, 502.

N₂O₄

1989

111: 47393f Fourier transform infrared and Raman studies on solid nitrogen dioxide: temperature cycling of ordered, disordered, and multicomponent layers. Givan, A.; Loewenschuss, A. (Dep. Inorg. Anal. Chem., Hebrew Univ., 91904 Jerusalem, Israel). *J. Chem. Phys.* 1989, 90(11), 6135-42 (Eng). FTIR spectra of N₂O₄ layers deposited at various rates and substrate temps. are reported. Bands assignable to N₂O₄(D_{2h}) (ordered and disordered layers), to O:N-O-NO₂ D and D' isomers, to NO⁺NO₃⁻, and to the NO₂ monomer were obsd. The relative amts. of species depends upon deposition conditions. Temp. cycling effects were followed at ≤ 205 K. Solid N₂O₄(D_{2h}) behaves like a normal, stable mol. solid, its disordered layer exhibiting small frequency shifts, but being stable with respect to temp. cycling. The observation of NO⁺NO₃⁻ bands is related to the existence of the D' isomer and of monomeric NO₂. Raman expts. overemphasize the NO⁺NO₃⁻ form due to resonant enhancement.
(D_{2h})(lkcrey)



C.A. 1989, 111, N6

N₂O₄

1990

2 Б1206. ИК-фурье-спектр поглощения хорошо упорядоченной твердой [фазы] четырехокиси азота. Fourier transform infrared spectrum of well ordered solid dinitrogen tetroxide / Givan A., Loewenschuss A. // J. Chem. Phys.—1990.—93, № 1.—С. 866—867.—Англ.

Исследован ИК-фурье-спектр поглощения тв. четырехокиси азота, N_2O_4 (I) в области 50—1750 см⁻¹. Проведена интерпретация спектра I для модели молекулы I симметрии D_{2h} , предложено новое по сравнению с лит. данными отнесение ряда частот, в частности, типа симметрии B_{2u} — деф. кол. ν_{10} к 634,9 см⁻¹ и вал. кол. ν_q к 1750,1 см⁻¹. Исследован ИК-спектр в области фононных частот тв. I, упрощение к-рого по сравнению с лит. данными отнесено к упорядоченному строению твердого I.
Г. М. Курамшина

ll·n.

X. 1991, N 2

N₂O₄

1990

14 Б1072. Неэмпирические исследования методом валентных связей природы барьера вращения в N₂O₄. Nonempirical valence bond studies of the origin of the rotation barrier for N₂O₄ / Harcourt R. D., Skrezenek F. L. // J. Phys. Chem.— 1990.— 94, № 18.— С. 7007—7012.— Англ.

Неэмпирическим методом валентных связей рассчитаны барьеры вращения N₂O₄. Показано, что стабилизация плоского конформера определяется перекрыванием АО, локализованных на парах цис-атомов кислорода.
Ю. Н. Панченко

Vsp. № 11 -

X. 1991, N 14

№ 64

1990

У6 Д84. Исследование природы барьера вращения в N_2O_4 неэмпирическим методом валентных связей. Non-empirical valence bond studies of the origin of the rotation barrier for N_2O_4 / Harcourt Richard D., Skrezenek Frances L. // J. Phys. Chem.— 1990.— 94, № 18.— С. 7007—7012.— Англ.

Неэмпирическим методом валентных связей с включением в рассмотрение только валентных электронов в базисе OCT-5 ГФ исследована природа барьера внутреннего вращения (БВ) для N_2O_4 . Использована фиксированная геометрия NO_2 . Варьирование длин связей N—N не приводит к качеств. изменению выводов. Обнаружено, что наиболее устойчивый плоский конформер стабилизируется благодаря перекрыванию орбиталей пар атомов O, находящихся в цис-положении друг к другу. В то же время π-связывание N—N слишком слабо, чтобы объяснить наличие заметного БВ.

В. Л. Лебедев

cf. 1991, № 6

O_2NNO_2

1991

Harcourt Richard D.,

Mn: Croat. chem. acta 1991,
64, N3, 399-414.

(See: ONNO; III)

(NO)₂

[Om. 37402]

1992

Fisher I., Strobel A., et al.,
Gromov,
Czekay,
Bielecikow, J. Chem. Phys. 1992, 96(9),
Pappal., 7171 - 7174.
Korifas.
Zacron

High resolution
spectra of NO[•]



Photoelectron
dimer.

N_2O_4

1992

Gadre Shridhar R.,
Kulkarni S.A. et al.

u.n.

J. Chem. Phys. 1992.

96, N.F.C. 5253 - 5260.

(ccw. $\bullet NH_3$; II)

N_2O_4

1992

117: 241854w Fourier transform jet spectrum of the ν_9 band of nitrogen oxide (N_2O_4). Melen, F.; Carleer, M.; Herman, M. (Lab. Chim. Phys. Mol., CPI 160/09, Univ. Libre de Bruxelles, Roosevelt ave. 50, 1050 Brussels, Belg.). *Chem. Phys. Lett.* 1992, 199(1-2), 124-30 (Eng). The rotational structure of the ν_9 band of N_2O_4 , recently recorded in a supersonic expansion using a Fourier transform interferometer by J. K. Holland et al. was analyzed, leading to the spectroscopic detn. of rotational parameters for that species.

(Dg fraus.
CMU/UKM.)

C.A. 1992, 117, N 24

N₂O₄

1992

№ 6 Б1184. Анализ колебательных полос N₂O₄. Vibrational band analysis of N₂O₄ /Mélen F., Pokorni F., Herman M. //Chem. Phys. Lett. —1992.—194, № 3.—С. 181—186.—Англ.

В области 650—7000 см⁻¹ измерены ИК-спектры поглощения газообразного N₂O₄ при т-рах 20 и —50° С. Использовались многоходовая оптич. ячейка с длиной поглощающего слоя 42 м и фурье-спектрометр. Разрешение в среднем составляло 0,1 см⁻¹, хотя отдельные участки спектров регистрировались с разрешением 0,01 и даже 0,0025 см⁻¹. Приведены рассчитанные формы нормальных колебаний. Дано положение и отнесение наблюдавшихся полос, для некоторых из них указан тип полосы. Приведен перечень фундаментальных частот колебаний с указанием их симметрии и качеств. описанием характера колебания.

В. М. Ковба

X. 1994, N 6

N_2O_4

1992

117: 78987f Vibrational band analysis of nitrogen oxide (N_2O_4).
Melen, F.; Pokorni, F.; Herman, M. (Lab. Chim. Phys. Mol., Univ.
Libre Bruxelles, 1050 Brussels, Belg.). *Chem. Phys. Lett.* 1992,
194(3), 181-6 (Eng). The Fourier transform absorption spectrum of
 N_2O_4 was recorded in the gas phase at medium resoln. between 650
and 7000 cm^{-1} under various temp. conditions. A complete set of
band identifications was derived.

Konsument H.

A. Hanly

C.A. 1992, 117, N 8

N_2O_4

1992

Prasad P.D.S., Singh
S.Nath.

meoperei.
pacrēū. Acta Cīenc. Indica,
Phys. 1992, 18(4), 335-
342.

(cīer. N_2O_2 ; $\frac{iii}{-}$)

N₂O₄

1993

118: 201334r The torsional potential energy function of N₂O₄.
Koput, J.; Seibert, J. W. G.; Winnewisser, B. P. (Phys. Chem. Inst.,
Justus Liebig Univ., W-6300 Giessen, Germany). *Chem. Phys. Lett.*
1993, 204(1-2), 183-9 (Eng). The IR spectrum of N₂O₄ was
measured at 200-650 cm⁻¹ at different resolns. and temps. Anal. of
the sequence of weak bands near 540 cm⁻¹ involving a combination of
the ν₆ (NO₂ rocking) and ν₄ (torsion) modes was performed. The
shape of the potential energy function governing internal rotation
about the NN bond was detd. In the ground vibrational state, the
height of the barrier at the staggered conformation was detd. to be
 $1900 \pm 200 \text{ cm}^{-1}$.

*UK CLEMP,
ν_i, V_d*

C. A. 1993, 118, N20

N₂O₄

011.37238

1993

11 Б1017. Неэмпирическое изучение структуры тетраоксида азота. Существует ли D_{2d}-конформер? Ab Initio study on the structure of dinitrogen tetroxide: Is there a D_{2d} conformer? /Liu Ruiseng, Zhou Xuefeng //J. Phys. Chem. —1993.—97, № 17.—С. 4413—4415.—Англ.

М.Н.

Неэмпирический расчет тетраоксида азота (I), проведенный на уровне МП2 в базисах 6-31ГФ* и 6-311ГФ* для конформации симметрии D_{2h} (с центральной связью N—N, соединяющей два копланарных NO₂ фрагмента) удовлетворительно воспроизводит эксперим. данные газ. электронографии и колебат. спектров I. В рамках этого же приближения структура D_{2d} не отвечает минимуму на поверхности потенциальной энергии, а соответствует переходному состоянию для вращат. движения вокруг связи N—N и не должна быть ответственной за наблюдаемые особенности в полученных ранее ИК-спектрах I в условиях матричной изоляции.

Н. С. Строкач

X. 1994, N 11

N_2O_4

(Om. 37238)

1993

→ 9Д124. Неэмпирическое исследование четырехоксида диазота. Существует ли D_{2d} -конформер? Ab initio study on the structure of dinitrogen tetroxide. Is there a D_{2d} conformer? / Liu Ruifeng, Zhou Xuefeng // J. Phys. Chem.. — 1993. — 97, № 17. — С. 4413—4415. — Англ.

Ab initio calculations at the MP2 level with the 6—31G* and 6—3G* basis sets satisfactorily reproduced the experimental structural and vibrational spectral features of the D_{2n} conformer of dinitrogen tetroxide. Calculations at the same level, however, indicate the D_{2d} conformation of this molecule is a transition state for the torsional motion around the N—N bond. Therefore, the previously observed matrix infrared spectral features should not be attributed to the D_{2d} structure of dinitrogen tetroxide.

III-1-

Ф 1993, N 9

N_2O_4

1993

Leckhaes D.,
Quack M.

Фуро
УК сенкп,
 ν_i

J. Mol. Struct. 1993, 293,

213 - 16.



(cet. NO_2 ; II)

1994

N₂O₄

У 24 Б1312. Инфракрасные диодные лазерные спектры полос валентных колебаний N—O ν_9 и ν_{11} N₂O₄. Infrared diode-laser spectra of the ν_9 and ν_{11} N—O stretching bands of N₂O₄ /Domenech J. L., Andrews A. M., Belov S. P., Fraser G. T., Lafferty W. J. //J. Chem. Phys. —1994.—100 № 10.—С. 6993—6999.—Англ.

Измерен диодный лазерный спектр в области фундаментальных полос ν_9 (b_{2u} , b-тип) при 1757 см⁻¹ и ν_{11} (b_{3u} , a-тип) при 1261 см⁻¹ вал. кол. охлажденных в струе молекул N₂O₄. В полосе ν_9 не обнаружено возмущений и удалось отнести почти все наблюдаемые вращат. линии. В полосе ν_{11} большинство K_a-состояний сильно возмущено и большинство линий, связанных в основном с возмущающими состояниями и горячей полосой торсионных переходов, не отнесены. Получены точные значения вращат. постоянных. Результаты интерпретированы в рамках плоской центросимм. модели молекулы с длиной связи N—N 1,756 Å.

В. М. Ковба

X. 1994, N 24

N₂O₄

1994

122: 89976f Valence bond studies of N₂O₄. MO, Yirong; Wu, Wei; Zhang, Qianer (Department of Chemistry, Xiamen University, Xiamen, Peop. Rep. China 361005). THEOCHEM 1994, 121, 173-8 (Eng). A non-empirical valence bond method is used to investigate the conformation of N₂O₄. Calcns. of the planar conformer shows that the π resonance energy between the two NO₂ fragments is only 3.60 kJmol⁻¹, so that the planarity cannot result primarily from the presence of N-N π bonding in accordance with previous results. A technique is also presented for studying the origin of the rotation barrier for N₂O₄. Our results indicate that the variations of the one-electron orbital energies of the N2P_z and O2P_z AOs as well as their electron populations are responsible for the stability of the planar conformer compared with the skew conformer.

*pay attention
to the normality,
not p. 122*

C. A. 1995, 122, N8E

1995

 N_2O_4 (monoclinic
nitronium)

(cracks)

(41)

X

C.A. 1995, 122, N22

122: 276774a A Low-Temperature Reflection-Absorption Infrared Spectroscopic Study of Ultrathin Films of Dinitrogen Tetroxide and Dinitrogen Pentoxide on Gold Foil. Koch, Thomas G.; Horn, Andrew B.; Chesters, Michael A.; McCoustra, Martin R. S.; Sodeau, John R. (School of Chemical Sciences, University of East Anglia, Norwich, UK NR4 7TJ). *J. Phys. Chem.* 1995, 99(20), 8362-7 (Eng). An ultrahigh-vacuum system optically coupled to a reflection-absorption IR probe at a grazing angle of incidence was employed to characterize thin layers of N_2O_4 and N_2O_5 . An ordered film of D_{2h} - N_2O_4 mols. was produced by slow effusive deposition of NO_2 on a polycryst. Au foil at 80 K. Anal. of the resulting IR bands suggests that the mols. align with their central N-N bond axes parallel to each other and perpendicular to the underlying substrate, consistent with the known structure of monoclinic β - N_2O_4 . This orientation effect was not obsd. upon adsorption at 120 K. Condensation of N_2O_5 on the substrate at 80, 100, and 120 K resulted in a multilayer film of amorphous covalent, cryst. covalent, and ionic N_2O_5 , resp. As obsd. for N_2O_4 at 80 K, covalent N_2O_5 mols. in the cryst. phase order their mol. planes perpendicular to the surface. This previously unreported cryst. covalent phase is metastable with the respect to the ionic form, nitronium nitrate.

 N_2O_5

1995

F: N₂O₄

P: 3

2Б135. Неэмпирическое исследование равновесной структуры и торсионной функции потенциальной энергии тетраоксида диазота. An ab initio study on the equilibrium structure and torsional potential energy function of dinitrogen tetroxide / Koput J. // Chem. Phys. Lett. - 1995. - 240, N 5 - 6. - C. 553-559. - Англ.

Неэмпирическим методом МК ССП в полном активном пространстве в базисах до 12s6p3d2f1g/5s4p3d2f1g и 10s5p2d1f/4s3p2d1f для атомов N и O соответственно исследовано электронное строение N₂O₄[4]. Длины связей NN и NO и угол NNO найдены равными 1,7940 и 1,1906 Å и 112,55° соотв. Барьер вращения оценен в 2313 см⁻¹ и энергия связи NN - в 13,2 ккал/моль.

Р.ЖС.Х. № 2, 1996.

N₂O₄

1995

123: 123715c An ab initio study on the equilibrium structure and torsional potential energy function of dinitrogen tetroxide. Koput, Jacek (Department of Chemistry, Adam Mickiewicz University, 60-780 Poznan, Pol.). *Chem. Phys. Lett.* 1995, 240(5,6), 553-9 (Eng). The mol. parameters of dinitrogen tetroxide, N₂O₄, have been detd. in large-scale ab initio calcns. using the multiconfigurational second-order perturbation method, CASSCF/CASPT2, and basis sets of double- to quadruple-zeta quality. With the largest basis set employed, cc-pVQZ for nitrogen and cc-pVTZ for oxygen, the structural equil. parameters are detd. to be r(NN) = 1.7940 Å, r(NO) = 1.1906 Å and $\angle(\text{NNO}) = 112.55^\circ$. The potential energy barrier at the staggered conformation of the mol. is found to be 2313 cm⁻¹, and the binding energy of the NN bond is calcd. to be 4616 cm⁻¹ (13.2 kcal/mol).

*COPYRIGHT,
PARAPENNY,
MLOP·FACET*

C.A. 1995, 123, n10

1995

N₂O₄

122: 89921j Ab Initio Study of the N₂O₄ Potential Energy Surface. Computational Evidence for a New N₂O₄ Isomer. McKee, Michael L. (Department of Chemistry, Auburn University, Auburn, AL 36849 USA). *J. Am. Chem. Soc.* 1995, 117(5), 1629-37 (Eng). D.-functional theory (DFT) with nonlocal corrections (Becke3LYP) and Hartree-Fock theory with perturbative electron correlation (QCISD(T)) were used to study the nitrogen oxides. With few exceptions, DFT calcns. with a small basis set (6-31G(d)) agreed well with QCISD(T) calcns. with a moderate basis set (6-31+G(2df)). A new isomer of N₂O₄ was calcd., which involves the coupling of two NO₂ radicals through oxygens. The O-O bond in ONOOONO is similar to other peroxide bonds except that the bond dissociation energy is neg. (-17.5 kcal/mol) due to the large reorganization energy of NO₂. The ONOOONO intermediate is suggested to play a key role in the reaction 2NO + O₂ → 2NO₂. The stepwise mechanism for formation of ONOOONO, adding NO to O₂ (endothermic by 11.5 kcal/mol) followed by adding NO to ONOO (exothermic by 21.6 kcal/mol), is not consistent with exptl. observations. Rather, a new mechanism is proposed in which ONOOONO is formed in a concerted step from NO plus NO-O₂, a weakly bound complex of NO and O₂. Assuming O-O cleavage as the rate detg. step gives the correct rate law ([O₂][NO]²) and an overall activation barrier consistent with expt.

(ab initio)

Herrin group

SfH

C. A. 1995, 122, N 8

Nel4

1997

Borisenko Konstantin B;
et al.,

Барбер
Буянов
Гравех.
g. Mol. Stud. 1997,
413-414, 121-131

(лл. №2; III)

N₂O₄

1997

127: 182539d Ab initio and experimental investigation of the vibrational energy pattern in N₂O₄: the mid and near infrared ranges. Elyoussoufi, Y.; Herman, M.; Lievin, J.; Kleiner, I. (Lab. Chimie Physique Moléculaire CP160/09, Univ. Libre Bruxelles, 501050 Brussels, Belg.). *Spectrochim. Acta, Part A* 1997, 53A(6), 881-894 (Eng).

Elsevier. Extensive ab initio calcns. were performed concerning N₂O₄ in the ground electronic state, at the MP4 and CMRCI levels of theory, using the 6-31G* and cc-pVTZ basis sets. Special care is devoted to internal degrees of freedom characterizing the quasi van der Waals NN-bond, the torsion and the NN stretch vibrational modes. The role of the methodol. was studied with the help of previous literature results. It is shown that most properties are significantly better described by MP4 than by MP2, but that a vibrational multireference method, like CMRCI, is however required for all properties linked to the NN bond. The ab initio vibrational anal. is merged with the one of absorption spectra recorded at medium resoln. between 700 and 7000 cm⁻¹, using a Fourier transform interferometer. The resulting set of effective vibrational frequencies and anharmonicities is provided. The height of the torsional potential energy barrier is 2000 cm⁻¹, at the best level of theory (CMRCI/cc-pVTZ), in agreement with the highest exptl. value available.

C.A. 1997, 127, N 13

NaDy

1997

ab initio
racem
H. COCM.
asak YP cremp

127: 154068f Ab initio calculation of the electronic spectrum and ionization potentials of hydrazine. Habas, Marie-Pierre; Baraille, Isabelle; Larrieu, Christiane; Chaillet, Max (Lab. Chim. Structurale, Univ. Pau et des Pays de l'Adour, 64000 Pau, Fr.). *Chem. Phys.* 1997, 219(1), 63-71 (Eng), Elsevier. Ab initio calcns. for electronic states of hydrazine are reported. The VUV spectrum is analyzed. The 1st transitions are all Rydberg transitions and the 1st valence states are only expected >10 eV. The 1st 5 vertical ionization potentials are reported. The structural properties of the N_2H_4^+ ion conformers are discussed.

C.-A. 1997, 127, N 11

N₂O₄

1997

ab initio
pacem
Cmpy & Nyc,
Di, Ullil NOF;
No

127: 70975m The weakly bound dinitrogen tetroxide molecule:
high level single reference wavefunctions are good enough. We-

solowski, Steve S.; Fermann, Justin T.; Crawford, T. Daniel; Schaefer, Henry F., III (Center for Computational Quantum Chemistry, University of Georgia, Athens, GA 30602 USA). *J. Chem. Phys.* 1997, 106(17), 7178–7184 (Eng), American Institute of Physics. Ab initio studies of dinitrogen tetroxide (N_2O_4) have been performed to predict the equil. geometry, harmonic vibrational frequencies, and fragmentation energy ($\text{N}_2\text{O}_4 \rightarrow 2 \text{NO}_2$). The structure was optimized at the SCF, CI, and coupled-cluster levels of theory with large basis sets. At the highest level of theory, the N–N bond distance was 1.752 Å, in excellent agreement with the exptl. value of 1.756 ± 0.01 Å. In addn., the harmonic vibrational frequencies were predicted with an av. abs. error of 51 cm^{-1} relative to exptl. fundamental values with differences largely attributed to anharmonic effects. The fragmentation energy cor. for zero point vibrational energy and basis set superposition error was 7.2 kcal/mol, in fair agreement with the exptl. value of 12.7 kcal/mol. Despite the suggestion that a multireference wavefunction may be necessary to accurately describe the biradical nature of N_2O_4 , single ref. treatments with large basis sets and high levels of electron correlation yield mol. parameters remarkably close to exptl. values.

C-A. 1997, 127, N5

$\text{N}_2\text{O}_4 \rightleftharpoons 2\text{NO}_2$

1998

H. Grigg
CNP. 1101-A

129: 236211c Investigation of the Equilibrium $\text{N}_2\text{O}_4 \rightleftharpoons 2\text{NO}_2$ by Electron Diffraction: Molecular Structures and Effective Temperature and Pressure of the Expanding Gas with Implications for Studies of Other Dimer-Monomer Equilibria. Shen, Quang; Hedberg, Kenneth (Department of Chemistry, Oregon State University, Corvallis, OR 97331 USA). *J. Phys. Chem. A* 1998, 102(32), 6470-6476 (Eng), American Chemical Society. Gas-phase electron-diffraction patterns are obtained from jets that are expanded into a vacuum. Knowledge of the effective temp. of the sample in the diffraction zone is essential for reliable analyses of any equil. that may exist between different species and for an understanding of the vibrational properties of the mols. Knowledge of the effective pressure is also essential for analyses of equil. in which the no. of mols. changes during reaction. The temp. and pressure dependence of the equil. $\text{N}_2\text{O}_4 \rightleftharpoons 2\text{NO}_2$ was studied to investigate

C.A. 1998, 129, N 18

these matters. The diffraction expts. fall into two sets: (1) those with nozzle temps. of 104, 25, 2, -12, -25, and -35° with the sample bath temp. const. at -43° and (2) those with the nozzle temp. const. at -12° and bath temps. of -26, -36, and -43°. The amt. of N_2O_4 was found to range from 76.3 (29)% with the bulk sample at -43° and the nozzle tip at -35° to zero with the nozzle tip at 104°. Anal. of the temp. dependence of the equil. reveals that effective temp. in the diffraction zone is satisfactorily represented by the formula $T = aT_{nt}$, where T_{nt} is the nozzle-tip temp. and $a = 0.980$ ($\sigma = 0.098$). Thus, for $T_{nt} = 300$ K one has $T = 294$ K ($\sigma = 29$); however, there is evidence that the magnitude

N₂O₄ isomers

1998

129: 45507u Ab initio study on the characterization of N₂O₄ isomers. Wang, Xuefeng; Qin, Qi-Zong; Fan, Kangnian (Laser Chem. Inst., Fudan Univ., Shanghai, Peop. Rep. China 200433). THEOCHEM 1998, 432(1), 55-62 (Eng), Elsevier Science B.V.. Equil. geometries,

meopen.
racem
CMASSWY.

harmonic vibrational frequencies, IR intensities and dipole moments have been calcd. for a set of N₂O₄ isomers (trans-ONONO₂, cis-ONONO₂, cis-perp-trans ONOONO and trans-perp-trans ONOONO) by ab initio method at the MP2 level with the 6-31G* and 6-311G* basis sets. The calcd. results satisfactorily reproduce the available exptl. vibrational spectral features of trans- and cis-ONONO₂. Calcns. at the same levels indicate that two O-O coupled isomers of ONOONO, namely cis-perp-trans and trans-perp-trans forms, are also true min. on the potential energy surface. Our ab initio results elucidate several trends involving relative energies, Mulliken population and bonding characteristics and suggest that two ONOONO isomers are covalently bound structures, while trans- and cis-ONONO₂ isomers may be formed by a strong mixt. of covalent and ionic bonding with nonplanar structures.

C.A. 1998
129, NY

F: N2O4

P: 3

132:56941 Emission spectroscopy of photodissociating N2O4 excited near 200 nm to the $\pi_{nb}, O_{\pi} NO_2^*/n.\sigma.N-N^*$ avoided crossing.

Parsons, B. F.; Curry, S. L.; Mueller, J. A.; Ray, P. C.; Butler, L. J. James Franck Institute and Department of Chemistry, The University of Chicago Chicago, IL 60637, USA J. Chem. Phys., 111(18), 8486-8495 (English) 1999 These expts. and complementary electronic structure calcns. seek to probe the early dissociation dynamics of N2O4 excited in the strong 186 nm UV absorption band. Laser photons of 199.7, 203, and 205 nm are used to dissociate N2O4 molecules. expanded in a free jet. The emission from the dissociating molecules is dispersed in a spectrometer and

1999

C.A. 2000, 132

collected with an optical multichannel analyzer (OMA). The authors observe a strong progression in ν_3 , the N-N stretching mode, consistent with electronic structure calcns. and a previous observation of N-N bond fission leading to NO₂ photoproducts in this band. The authors also observe emission to combination bands in ν_4 , the torsion, and ν_5 , they attribute to vibronic coupling to a $\sigma..\sigma^*$ excited state configuration. Anal. of the data allows for an assignment of the torsional frequency of N₂O₄. Around 200 nm nitric acid, nitromethane, and N₂O₄ all exhibit a similar absorption to an adiabatic surface that changes electronic character from π_{nb}, σ, π^* at short O₂N-R (R = CH₃, OH, NO₂) internuclear distances to σ^* at extended internuclear distances. The authors compare their present emission spectra of N₂O₄ with previous emission expts. on nitromethane to understand how the character of the Franck-Condon region of the excited states in these two mols.

2000

F: N2O4

P: 3 {32:187011 Striking anharmonic resonances in
N2O4: supersonic jet fourier transform spectra at
13.3, 7.9, 5.7 and 3.2 .mu.m. Hepp, M.; Georges, R.;
Herman, M.; Flaud, J.-M.; Lafferty, W. J.

Laboratoire de Chimie Physique Moleculaire,
Universite Libre de Bruxelles Brussels 1050,
Belg. J. Mol. Struct., 517-518, 171-180 (English)
2000

The spectrum of N2O4 was obtained in
the 3.2, 5.7, 7.9 and 13.3 .mu.m regions, using a
supersonic slit jet system coupled to a Fourier
transform spectrometer with a spectral resoln. of
0.005 cm-1. Anal. of t spectra obtained indicates
that the temp. of the mol. beam is ~30 K In th
lowest frequency spectral regions, not only were the
.nu.9, .nu.11 and .n fundamental bands obsd., but

C.A.2000, 132

each fundamental was accompanied by an intense combination band which appears because of a strong anharmonic resonance leading to a transfer of intensity from the fundamental band to the combination band. In the 13.3 μm region, 2 a-type bands with nearly equal intensities, are seen. Their band centers are $\nu_0(\nu_{12})=747.85495(20)$ cm^{-1} and $\nu_0(\nu_{6+}\nu_{10})=755.37492(20)$ cm^{-1} . The 7.9 μm region also contains 2 a-type bands whose band centers are $\nu_0(\nu_{11})=1261.08011(2)$ cm^{-1} and $\nu_0(\text{DB})=1265.03219(20)$ cm^{-1} where DB stands for dark band. The label is chosen because the assignment of the perturbing state can not be well established. In this region the combination band has $\sim 1/3$ the intensity of the fundamental. In the 5.7 μm region, 2 b-type bands are observed. The band centers $\nu_0(\nu_9)=1756.76217(20)$ cm^{-1} and $\nu_0(\nu_{6+}\nu_{11})=1733.15573(20)$ cm^{-1} with the combination band having about a quarter of the intensity of the fundamental band. A much weaker combination band, $\nu_1 + \nu_9$, was observed in the 3.2 μm region: $\nu_0(\nu_1 + \nu_9)=3125.25987(30)$ cm^{-1} . All the bands were successfully analyzed leading to ground state combination differences which were combined with those obtained in a previous diode-laser study and fit to obtain ground state rotational constants. The upper state energy levels were fit using a Hamiltonian that explicitly takes into account the anharmonic resonances. The experimental data could be fitted to within their experimental uncertainties.

F: N2O4

P: 3

OH, 40503

2000

132:127979 Peroxide linkage N2O4 molecule:
prediction of new ONOOONO isomer Wang, Xuefeng;
Qin, Qi-Zong Laser Chemistry Institute, Fudan
University Shanghai 200433, Peop. Rep. China
Int. J. Quantum Chem., 76(1), 77-82 (English) 2000 Ab
initio and d. functional theory (DFT) have been applied
to predict the existence of the ONOOONO mols. Two new
isomers, cis-perp-cis and cis-perp ONOOONO, are found to
be min. on the potential energy hypersurface calcd.
level with 6-311G(d) basis set and Becke3P86 and
Becke3LYP levels with th PVDZ basis set. Vibrational
frequencies are calcd. at the optimized stru Calcns. at
both ab initio and DFT methods show that cis-perp-cis is
energetically favored in all three O-O bonded ONOOONO
isomers.

C.A. 2000, 132